

99. — *Apanteles bitalensis* sp. n.

Espèce présentant une grande affinité avec *Ap. wittei* ab. *sake*, dont elle diffère par les caractères suivants :

♀ : mésonotum un peu terne; aréole du propodeum vaguement prolongée jusqu'à la base de celui-ci par deux carènes parallèles très faibles; tergite II marqué de fines stries transversales, arquées légèrement vers l'arrière, sa longueur médiane 3 fois plus courte que la largeur apicale du I et 1,66 fois plus courte que la longueur médiane du III (6 : 18 : 10); valves de la tarière plus longues que les tarsi III, égales à la 1/2 de la longueur du corps.

Longueur : 3 mm.; ♂, inconnu.

DISTRIBUTION GÉOGRAPHIQUE : lac Bulero, Bitale (alt. 1.862 m., 10-11.1934); Rutshuru, riv. Musugereza (alt. 1.100 m., 10.VII.1935); Ruhengeri, sources Kirii, Ruanda (alt. 1.800-1.825 m., 31.VIII.1934 et 1.X.1934); 4 exemplaires ♀ ♀.

AFFINITÉS : L'observation faite à propos de *Ap. wittei* ab. *sake* est également valable pour cette espèce, qui se rapproche encore beaucoup plus de l'espèce vitiennaise *Ap. platydrae* WILKN. par le 2^e tergite abdominal sculpté et la longueur des valves de la tarière.

100. — *Apanteles gandoensis* sp. n.

Espèce très voisine des aberrations de *Ap. wittei* à fémurs postérieurs sombres et à stigma marqué d'une éclaircie dans l'angle proximal.

♀ : noire; pattes I (sauf les hanches et une enfumure sur la face supérieure des fémurs), trochanters, trochantelles, vaguement l'apex des fémurs et le 1/3 basal des tibia des pattes II, environ le 1/3 basal des tibia et base des métatarses des pattes III, costale en grande partie, rouge testacé; pattes ailleurs (sauf les hanches) brun sombre; palpes jaune testacé; épérons des tibia pâles; ailes hyalines; stigma brun, opaque, marqué d'une éclaircie dans l'angle proximal; nervation jaune pâle.

♀. *Tête* : semblable à celle de *Ap. wittei*, mais le clypéus bien différencié de la face et les joues non renflées; articles apicaux du flagellum comme *Ap. wittei* ab. *anthracomerus* (fig. 251).

Thorax : mésonotum mat, à ponctuation (degré 3-4) assez régulière et étroitement placée, faiblement allongée, à peine plus forte le long des notaulices, courtement sétigère; sillon préscutellaire droit, mince, non crénelé; disque du scutellum assez plat, brillant et portant quelques rares pointillés très superficiels; mésopleures lisses et brillants, ponctués antérieurement, cochléar marqué d'une dépression longitudinale, pleures ailleurs comme décrit pour *Ap. wittei*; propodeum brillant, très superficiellement et éparsément ponctué dans la moitié basale, très faiblement

sculpté dans l'aréole et apicalement aux costules, aréole à peine plus large que longue, arrondie à la base et à l'apex, fermée vers le tiers basal du propodeum, costules un peu plus obliques antéro-postérieurement que chez *Ap. wittei*, de force moyenne comme les carènes de l'aréole.

Ailes : transverso-cubitale distinctement plus courte que la 1^{re} abcisse de la radiale, mais plus longue que la partie apicale de la 1^{re} abcisse de la cubitale, leur point de jonction marqué d'un court tronçon, le restant comme *Ap. wittei*.

Pattes III : hanches marquées de quelques petits pointillés rapprochés sur la facette plane en dessus à la base, virtuellement lisses sur la face externe. Proportions : hanches, 13/26; fémurs, 10/35; tibias, 8/42; tarsi : I, 20; II, 10; III, 7; IV, 6; V, 7; le plus long éperon des tibias la 1/2 et le plus court le 1/3 de la longueur des métatarses.

Abdomen : tergite I brillant et excavé à la base au milieu, légèrement proéminent au milieu et faiblement recourbé, assez mat et petitement rugoso-punctué ailleurs; sa longueur médiane à peine plus grande que sa largeur apicale et 1,5 fois sa largeur basale (18 : 17 : 12), ses bords latéraux droits, divergents de la base à l'apex, celui-ci largement échancré et à angles un peu aigus; tergite II brillant, portant une rangée de très petits pointillés espacés, son apex marqué à peine, au milieu, par une ligne déprimée et arquée vers l'arrière, ses sillons latéraux bien marqués, droits, fortement divergents, longueur médiane du tergite 3,4 fois plus courte que la largeur apicale du I et égale à la moitié de la longueur médiane du III (8 : 17 : 10); tergite III brillant comme les suivants, à petite ponctuation habituelle, localisée latéralement dans les 3/4 apicaux; hypopygium court, à prolongement apical aigu, non membraneux sur sa ligne médiane à la partie inférieure; valves de la tarière plus longues que les tarsi III, de la longueur des tibias et métatarses III réunis.

Longueur : 2,5 mm.; ♂, inconnu.

DISTRIBUTION GÉOGRAPHIQUE : lac Gando, volcan Karisimbi, Ruanda (alt. 2.400 m., 8.III.1935); 1 exemplaire holotype.

AFFINITÉS : Cette espèce se place, dans la clef de WILKINSON, en même temps que *Ap. diparopsidis* LYLE ♂, en admettant que le ♂ possède un stigma opaque, mais, peut en être séparée par la coloration des pattes, ainsi que la sculpture du propodeum et du 1^{er} tergite abdominal.

101. — *Apanteles vivax* sp. n.

(Fig. 253-256.)

♂ ♀ : noirs; palpes, pattes I et II (sauf les hanches), trochantelles, fémurs (sauf une enfumure apicale), 3/5 basilaires des tibias, base des métatarses des pattes III, rouge testacé; trochanters III et hypopygium, brunâtres; tarsi III, rouge brunâtre; ailes légèrement enfumées; stigma brun, opaque, nervures plus pâles; bords latéraux membraneux des tergites I et

II, brun rougeâtre sombre; sternites de la base rougeâtres; tarsi I et II parfois plus sombres que le restant des pattes.

♂ ♀. *Tête* : ligne faciale plus courte que la transfaciale; face satinée à brillante, à petite ponctuation (degré 1), portant une très faible carène médiane, courte, à la partie supérieure; clypéus différencié de la face par sa convexité; ostioles faciales grandes, un peu plus près de l'apex du clypéus que des yeux; vertex et occiput ponctués comme la face; espace oculo-oculaire égal à la distance séparant les ocelles postérieurs; antennes un peu plus longues que le corps (♀), environ 1/3 plus longues que le corps et effilées distalement (♂); 1^{er} article du flagellum 3,5 fois plus long que large (♀) (14 : 4), 2,8 fois (♂) (14 : 5), les trois articles préapicaux subégaux (♀) (fig. 253 et 254).

Thorax : mésonotum faiblement brillant, à ponctuation (degré 3) assez mal définie, rugueuse le long des lignes des notaulices qui sont ponctuées-aciculées et élargies à l'apex, mais non confluentes, séparées par une ligne longitudinale médiane lisse et brillante; sillon présutellaire droit, bien marqué, très faiblement crénelé; disque du scutellum aussi long que sa largeur basale, brillant, portant quelques rares petits pointillés, virtuellement lisse; mésopleures à ponctuation un peu rugueuse antérieurement, lisses ailleurs, excepté des stries transversales dans la partie antérieure du cochléar; métapleures lisses dans les 2/3 antérieurs, ponctués et rugueux dans le 1/3 postérieur, sillon situé au 1/3 antérieur et lisse; propodeum mat, vaguement et faiblement sculpté basalement aux costules, plus lisse et plus brillant dans l'aréole, cette dernière, nettement excavée, plus déprimée au milieu, en forme de V à l'apex, angle apical parfois peu aigu, carènes apicales très fortes, basales plus faibles, paraissant se rejoindre vers le 1/4 basal du propodeum sans former d'angle; aréole un peu plus large que longue, recevant les costules au 1/3 basal, celles-ci droites et faibles.

Ailes : 1^{re} abcisse de la radiale égale à la largeur du stigma, double de la transverso-cubitale et formant avec celle-ci un angle bien marqué; partie apicale de la 1^{re} abcisse de la cubitale et partie pigmentée de la 2^e abcisse de même longueur, juste un peu plus longues que la transverso-cubitale et environ égales aux 2/3 de la récurrente; stigma plus court que le métacarpe (fig. 255).

Pattes III : hanches brillantes, à très petite ponctuation (degré 1) peu dense sur les faces supérieure et inférieure, imponctuées sur la face externe, facette plane en dessus à la base peu ou pas marquée; fémurs brillants, polis, à petite ponctuation superficielle et bien séparée. Proportions : hanches, 22/36; fémurs, 14/48; tibias, 10/60; tarsi : I, 30; II, 11; III, 9; IV, 7; V, 10; le plus long éperon la 1/2 et le plus court le 1/3 de la longueur des métatarses.

Abdomen (fig. 256) : tergite I excavé à la base, proéminent au milieu, du tiers basal au tiers apical, faiblement courbé à hauteur de ce dernier,

marqué d'une aire médiane déprimée dans la moitié apicale, lisse et brillant dans la partie excavée, satiné et rugoso-punctué ailleurs, ponctuation peu apparente; sa longueur médiane 3 fois sa largeur apicale et 2 fois sa largeur basale (24 : 8 : 12), ses bords latéraux parallèles depuis le quart basal jusqu'au tiers apical, ensuite convergents jusqu'à l'apex faiblement émarginé, ce tergite est fortement rétréci près de l'apex; angles apicaux saillants et déprimés, aire médiane à l'apex, convexe, lisse et brillante, entourée d'une sculpture plus faible; tergite II peu convexe, terne ou peu brillant, fai-

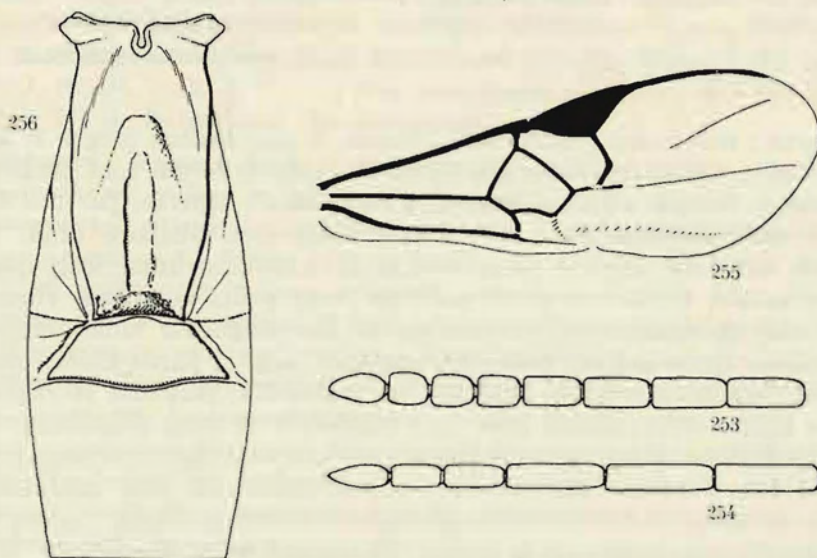


Fig. 253-256. — *Apanteles vivax* sp. n.

Fig. 253. — Sommet de l'antenne ♀. Fig. 254. — Sommet de l'antenne ♂.

Fig. 255. — Détail de la nervation de l'aile antérieure.

Fig. 256. — Détail des trois premiers tergites abdominaux.

blement et petitement sculpté, subgranulé, parfois presque lisse (lisse et brillant chez le ♂), sa base un peu plus large que l'apex du I, sa longueur médiane 1,33 fois plus courte que celui-ci, 2,66 fois plus courte que sa propre largeur apicale et 2,33 fois plus courte que la longueur médiane du III (10 : 8 : 6 : 16 : 14), sillons latéraux bien marqués, droits et largement divergents; chez le ♂, le tergite II est un peu plus long que la largeur apicale du I (8 : 7); 2^e suture fine et sinuée; tergite III brillant, lisse, portant quelques petits pointillés localisés sur les côtés; hypopygium largement membraneux sur sa ligne médiane, à apex membraneux, aigu et fendu; valves de la tarière un peu plus courtes que les tarsi III.

Longueur : 3 mm.

DISTRIBUTION GÉOGRAPHIQUE : Nyasheke, volcan Nyamuragira (alt. 1.820 m., 14-26.VI.1935), holotype ♀, allotype ♂ et paratypes; Kinyamahura, Djomba (alt. 1.800 m., 2 et 3.VIII.1934); 14 exemplaires : 12 ♂♂, 2 ♀♀.

OBSERVATIONS : L'exemplaire ♂, originaire de Kinyamahura, a les colorations testacées beaucoup plus sombres, trochanters et trochantelles II ainsi que la face supérieure des fémurs III, noirâtres; seulement le 1/3 basal des tibias III rougeâtre; tarsi III noir brunâtre; mésonotum à ponctuation plus distincte; costules et carènes basales de l'aréole plus fortes que les carènes apicales; pas de stries transversales dans le cochléar; tergite I plus brillant, aire longitudinale médiane plus large et plus superficielle.

AFFINITÉS : Cette espèce ne correspond à aucun des couplets de la clef de WILKINSON; par la forme rétrécie de l'apex du 1^{er} tergite abdominal, elle s'apparente à *Ap. javensis* ROWHER, mais en diffère par d'autres caractères. Cette forme se rapproche également de l'espèce marocaine *Ap. dioryctriae* WILKN., mais celle-ci appartient à un groupe différent, quoique les pièces génitales ♀ soient fort semblables ainsi que la forme de l'hypopygium, mais ce dernier est plus largement membraneux chez *Ap. vivax*.

102. — **Apanteles laxus** sp. n.

(Fig. 257-261.)

♂ ♀ : noirs; pattes I (sauf hanches et onychiums), trochanters, trochantelles, extrême base et apex des fémurs, tibias et tarsi (sauf l'onychium) des pattes II, trochanters, trochantelles, une trace à l'extrême base des fémurs, 3/5 basales des tibias et base des métatarses des pattes III, partie membraneuse de l'hypopygium, rouge testacé; sternites de la base et hypopygium, rougeâtres; tarsi III brun noirâtre; palpes jaune-rouge testacé; épérons des tibias III pâles; tergite III chez la ♀, à forte tendance au rougeâtre, sauf une aire médiane obtriangulaire dont la base correspond à la largeur apicale du tergite II; chez un spécimen, cette partie, ainsi que les sternites de la base sont franchement rouge testacé; ailes hyalines, très faiblement enfumées chez la ♀; stigma brun sombre, opaque; nervures assez pâles, sauf la radiale, la transverso-cubitale, ainsi que la 2^e abcisse de la médiane et parfois la 3^e, qui sont brunes.

♂ ♀. *Tête* : ligne faciale environ égale à la transfaciale; face brillante, bande médiane légèrement proéminente, ponctuation (degré 1) faiblement marquée, peu dense; clypéus différencié de la face; ostioles faciales situées à égale distance entre l'apex du clypéus et les yeux; vertex aciculé près des torules, virtuellement lisse ailleurs; occiput ponctué plus densément que la face; antennes de la longueur du corps chez la ♀, égale à la longueur du corps plus une fois l'abdomen chez le ♂; 1^{er} article du flagellum un peu plus de 3,5 fois plus long que large chez la ♀, 3 fois chez le ♂, les quatre articles préapicaux subégaux et pédicellés chez la ♀ (fig. 257 et 258).

Thorax : mésonotum faiblement brillant, à ponctuation (degré 3-4) régulière, les intervalles en moyenne un peu moindres que le diamètre des pointillés, rugueux le long des lignes des notaulices qui se terminent par une fine aciculation vers l'apex; sillon préscutellaire droit, large, assez régulièrement crénelé; disque du scutellum à faible convexité, brillant, lisse, sauf une très faible impression latérale; mésopleures lisses et brillants, ponctués

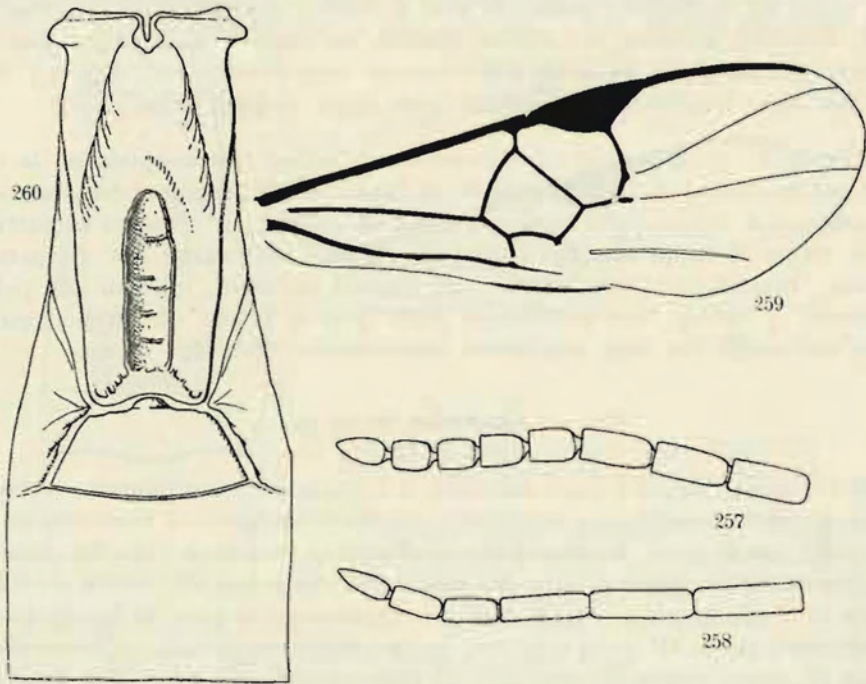


Fig. 257-260. — *Apanteles laxus* sp. n.

Fig. 257. — Sommet de l'antenne ♀. Fig. 258. — Sommet de l'antenne ♂.

Fig. 259. — Détail de la nervation de l'aile antérieure.

Fig. 260. — Détail des trois premiers tergites abdominaux.

assez superficiellement antérieurement, plus fortement dans l'angle huméral; suture méso-métapleurale finement crénelée; métapleures lisses et brillants dans le tiers antérieur, rugueux ailleurs; propodeum ruguleux basalement aux costules, portant, dans l'aréole et apicalement aux costules, quelques carènes secondaires, les intervalles lisses et brillants; aréole grande, en forme de V à l'apex, mais pas tout à fait aigu, à carènes fortes, les basales presque parallèles et se continuant jusqu'à la base du propodeum, l'aréole est ainsi largement ouverte, malgré la présence de tronçons de carènes transversales, elle ne paraît jamais distinctement fermée, costules courtes et droites ou très faiblement obliques.

Ailes : 1^{re} abcisse de la radiale un peu plus longue que la largeur du stigma, environ double de la transverso-cubitale et formant avec celle-ci un angle faible, leur point de jonction marqué d'un petit tronçon; partie apicale de la 1^{re} abcisse de la cubitale égale aux $\frac{2}{3}$ de la radiale et double de la partie pigmentée de la 2^e abcisse qui est, elle-même, un peu plus courte que le sommet de la basale; récurrente égale à la largeur du stigma; ce dernier plus court que le métacarpe (fig. 259).

Pattes III : hanches portant quelques punctuations assez faibles sur la facette plane, en dessus à la base, ainsi qu'une petite aciculation qui se con-

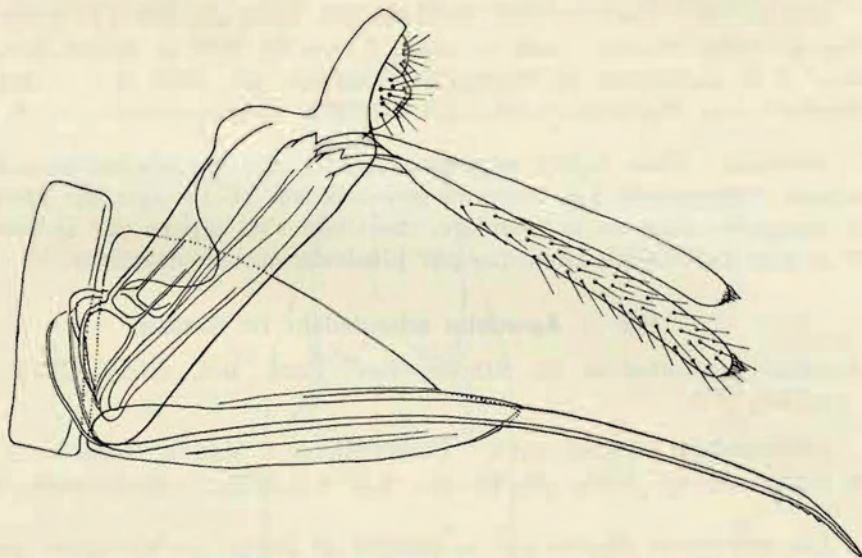


Fig. 261. — *Apanteles taxus* sp. n., hypopygium et genitalia, vus de profil.

tinue vers l'apex, lisses et très brillantes sur la face externe; fémurs brillants, à petite punctuation peu densément placée. Proportions : hanches, 25/40; fémurs, 16/52; tibias, 11/70; tarses : I, 32; II, 12, III, 10; IV, 8; V, 10; le plus long éperon des tibias un peu plus long que la moitié et le plus court environ le tiers de la longueur des métatarses.

Abdomen (fig. 260) : tergite I brillant, excavé à la base et striolé, proéminent un peu avant le milieu, rugueux et strié longitudinalement dans les $\frac{2}{3}$ apicaux, marqué d'une aire longitudinale médiane excavée, de forme variable, allant du sommet de la proéminence médiane à l'aire apicale lisse et brillante, longueur médiane du tergite 3,2 fois sa largeur apicale et 2,28 fois sa largeur basale (32 : 10 : 14), ses bords latéraux faiblement sinués et convergents de la base à l'apex échancré, angles apicaux légèrement arrondis; tergite II lisse et brillant, marqué parfois de quelques petits pointillés dans la moitié apicale, à peine convexe, sa largeur basale un peu plus grande que

l'apex du I, sa longueur médiane égale à la largeur apicale du I et un peu plus de la moitié de sa propre largeur apicale (10 : 10 : 18), sillons latéraux bien marqués, droits et divergents; 2^e suture fine, arquée vers l'arrière; tergite III, en moyenne 1,5 fois plus long que le II (longueur légèrement variable), brillant et portant l'habituelle petite ponctuation, excepté sur l'aire médiane obtriangulaire de teinte plus sombre chez la ♀; hypopygium aigu et fendu à l'apex, à prolongement membraneux; valves de la tarière de la longueur des fémurs III (fig. 261).

Longueur : ♂, 3 à 3,5 mm.; ♀, 3,5 à 3,8 mm.

DISTRIBUTION GÉOGRAPHIQUE : Rwindi (alt. 1.000 m., 20-24.XI.1934), holotype ♀; Rutshuru (alt. 1.285 m., 29-31.V, 1-6.VI, 2-6-8 et 12.VII.1935), allotype ♂ et paratypes; Rutshuru, riv. Lubirizi (alt. 1.285 m., 13.VII.1935); Rutshuru, riv. Fuku (alt. 1.250 m., 4.VII.1935); 13 exemplaires : 9 ♂♂, 4 ♀♀.

AFFINITÉS : Cette espèce se place, dans la clef de WILKINSON, entre les espèces éthiopiennes *Ap. langerburgensis* SZÉPL. et *Ap. syleptae* FERR. Elle se rapproche plus de la première, mais elle s'en sépare par la forme du 1^{er} tergite abdominal, ainsi que par plusieurs autres caractères.

103. — *Apanteles schoutedeni* DE SAEGER.

Apanteles schoutedeni DE SAEGER, Rev. Zool. Bot. Afr., XXXV, 1941, p. 240, ♂♀.

DISTRIBUTION GÉOGRAPHIQUE : Congo Belge : Mauda (Haut-Uele); coll. DE WITTE : Monga (Uele) (alt. 450 m., 18.IV-8.V.1935); 7 exemplaires : 6 ♂♂, 1 ♀.

Les spécimens récoltés par la Mission DE WITTE correspondent parfaitement au type de cette espèce, ils présentent, cependant, des différences dans l'intensité de certains caractères.

♂♀ : fémurs II, noir brunâtre, sauf au sommet; nervure costale rouge testacé apicalement, pâle sur presque toute sa longueur; aire médiane, dans la partie apicale du tergite I, à peine marquée.

Hôte et cocon, inconnus.

OBSERVATION : Cette espèce ne fait pas partie de la faune du Parc National Albert.

104. — *Apanteles gitebe* sp. n.

(Fig. 262.)

Espèce très semblable à *Ap. luteocinctus* DE SAEGER (n° 105), dont elle se différencie par les caractères suivants :

♀ : tegulae, près de la 1/2 apicale des hanches (plus largement en dessous), trochanters, trochantelles, fémurs (sauf l'apex en dessous), 2/3 basilaire des tibia des pattes III, parties latérales et bande apicale du ter-

gite III, rouge testacé; légèrement les tibias et les tarsi des pattes II entièrement, une légère trace à la base des tibias III, brunâtre.

♀ : pattes III, hanches satinées, faiblement rugueuses et ponctuées en dessus, avec quelques acicules immédiatement en dessous de cette sculpture et portant quelques très petits pointillés, très épars, sur la face externe. Proportions : hanches, 20/34; fémurs, 13/45; tibias, 9/55; tarsi : I, 30; II, 10; III, 9; IV, 7; V, 10.

Abdomen (fig. 262) : tergite I excavé à la base, proéminent au milieu et faiblement courbé, rugueux, satiné et plus faiblement sculpté dans la moitié basale, brillant dans la moitié apicale et marqué dans cette partie d'une

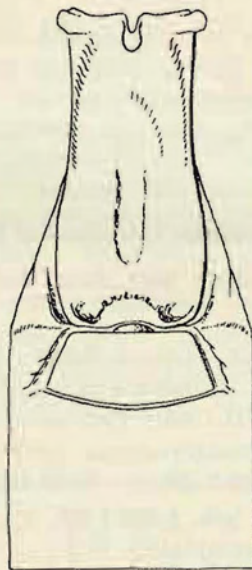


Fig. 262. — *Apanteles gitebe* sp. n.,
détail des trois premiers tergites abdominaux.

aire médiane allongée, légèrement déprimée et plus faiblement sculptée, ainsi que d'une petite aire médiane apicale, lisse et brillante, accompagnée de chaque côté d'une fossette; largeur médiane du tergite I, 2,45 fois ses largeurs basale et apicale, qui sont égales et environ 2 fois sa plus grande largeur située au tiers apical (29 : 11 : 11 : 13), ses bords latéraux subparallèles dans les 2/3 basilaires et s'incurvant ensuite jusqu'à l'apex, celui-ci légèrement émarginé et à angles latéraux arrondis; tergite II légèrement convexe, brillant, lisse, sauf pour quelques très légères irrégularités du tégument à la base et une rangée de fines soies au tiers apical, ses sillons latéraux droits, divergents et bien marqués, sa longueur médiane 1,57 fois plus courte que la largeur apicale du I, un peu moins de la moitié de sa propre largeur apicale et la moitié de la longueur médiane du III

(7 : 11 : 15 : 14), tergite III légèrement satiné, à petite ponctuation habituelle, localisée latéralement et vers l'apex.

Ailes : 1^{re} abcisce de la radiale 1/3 plus longue que la largeur du stigma, un peu incurvée et ne formant pas d'angle avec la transverso-cubitale, celle-ci est plus courte que la moitié de la précédente et un peu plus courte que la partie apicale de la 1^{re} abcisce de la cubitale; récurrente égale à la largeur du stigma, ce dernier plus court que le métacarpe.

Longueur : 3 mm.; ♂, inconnu.

DISTRIBUTION GÉOGRAPHIQUE : Gitebe, volcan Nyamuragira (alt. 2.324 m., 14-26.VI.1935); 1 exemplaire ♀ holotype.

AFFINITÉS : La similitude de cette espèce avec *Ap. luteocinctus* DE S. est très grande, le caractère qui l'en distingue principalement est la largeur apicale du 1^{er} tergite abdominal, qui n'est pas plus large au sommet qu'à la base et aussi l'absence d'angle entre la 1^{re} abcisce de la nervure radiale et la transverso-cubitale.

105. — *Apanteles luteocinctus* DE SAEGER.

Apanteles luteocinctus DE SAEGER, Rev. Zool. Bot. Afr., XXXV, 1941, p. 247, ♀.

DISTRIBUTION GÉOGRAPHIQUE : Congo Belge : Rutshuru, Kamogobe (Sud Masisi); collection DE WITTE : Rutshuru (alt. 1.285 m., 13-20, 20-21.XII.1933, 22.V, 4.VI, 6-8.VI.1934, 4.VII.1935); Rutshuru, riv. Fuku (alt. 1.250 m., 5.VI.1934); Rutshuru, riv. Musugereza (alt. 1.100 m., 10.VI.1935); Ruhengeri, riv. Penge, Ruanda (alt. 1.800-1.825 m., 30-31.VIII.1934, 4-5.X.1934); Ruhengeri, sources Kirii, Ruanda (alt. 1.800-1.825 m., 31.VIII.1934); Ngesho (alt. 2.000 m., 3-6.IV.1934); 20 exemplaires ♀ ♀.

Hôte et *cocon*, inconnus.

a) *Apanteles luteocinctus kirii* ab. n.

Semblable à l'espèce, dont elle se différencie par les caractères suivants :

♀ : apex des tibias et tarses des pattes II (sauf la base des métatarses) brunâtres; hanches III plus largement à la base et fémurs III environ dans le 1/4 ou le 1/5 apical en dessus, noirs; coloration du tergite III moins fortement rouge testacé, parfois à peine rougeâtre ou, seulement ainsi, à l'apex et latéralement.

♀ : hanches III moins sculptées, portant quelques gros pointillés bien marqués sur la facette plane en dessus à la base; tergite I plus court et plus large, longueur médiane 1,66 fois la largeur apicale et 2,14 fois la largeur basale (30 : 18 : 14); le tergite II est, par suite, plus large et environ égal à la moitié ou à peine plus court que la moitié du III; 2^e suture moins

sinuée ou légèrement arquée vers l'arrière; valves de la tarière plus longues que les fémurs III, environ de la longueur des tibias correspondants.

DISTRIBUTION GÉOGRAPHIQUE : Ruhengeri, sources Kirii, Ruanda (alt. 1.800-1.825 m., 31.VIII.1934), holotype ♀; Tshengelero, près de Munagana (alt. 1.750 m., 21.VIII.1934); Shamuheru, volcan Nyamuragira (alt. 1.845 m., 5.VI.1935); Rutshuru, riv. Kanzarue (alt. 1.200 m., 16.VII.1935); Burunga, Mokoto (alt. 2.000 m., 17-19.III.1934); Nyasheke, volcan Nyamuragira (alt. 1.820 m., 14-26.VI.1935); 6 exemplaires ♀ ♀.

b) **Apanteles luteocinctus kabasha** ab. n.

Semblable à l'aberration précédente excepté les caractères suivants :

♀ : hanches III à l'apex et dans la moitié inférieure, rouge testacé; la partie noire des fémurs III s'étend plus longuement sur la face supérieure que chez *Ap. luteocinctus*; tibias II rouge testacé entièrement; tergite III entièrement noir; hanches III plus petites, 20/30, tandis que chez l'aberration *kirii* elles sont plus longues, 22/38, comme chez l'espèce, et aciculées dans la partie supérieure; proportions des tergites abdominaux comme renseigné pour l'aberration *kirii*.

DISTRIBUTION GÉOGRAPHIQUE : Kanyabayongo, Kabasha (alt. 1.750 m., 11.XII.1934); Ruhengeri, sources Kirii, Ruanda (alt. 1.800-1.825 m., 3.X.1934); Ruhengeri, riv. Penge, Ruanda (alt. 1.800-1.825 m., 30-31.VIII.1934); Tshengelero, près de Munagana (alt. 1.750 m., 21.VIII.1934); 4 exemplaires ♀ ♀.

c) **Apanteles luteocinctus rutshuru** ab. n.

Semblable à l'aberration précédente à l'exception des caractères suivants :

♀ : tarsi II, apex des hanches III, extrême base des fémurs III, rouge testacé; parties latérales du tergite II, rougeâtres; hanches III grandes comme chez l'espèce, mais aciculées comme chez l'aberration *kabasha*; valves de la tarière un peu plus longues que les fémurs III, pas tout à fait aussi longues que les tibias correspondants.

DISTRIBUTION GÉOGRAPHIQUE : Rutshuru (alt. 1.285 m., 6.VII.1935); 1 exemplaire holotype ♀.

106. — **Apanteles sarpedon** sp. n.

(Fig. 263-267.)

Cette espèce présente de nombreux caractères communs avec *Ap. alastor* (n° 107), elle pourrait être facilement confondue avec celui-ci au premier abord; ces deux espèces offrent, cependant, des caractères essentiels absolument différents, qui écartent toute confusion et ne permettent pas de les considérer comme appartenant à une race locale ou une aberration.

♀ : coloration très semblable à celle de *Ap. alastor*. Noire; articles basilaire des palpes maxillaires et palpes labiaux entièrement, bruns; pattes I depuis la moitié ou le tiers basal des fémurs, extrême apex des fémurs, tiers basal des tibias ou seulement la base et tarse (ceux-ci cependant un peu enfumés) des pattes II, un peu moins de la moitié basale des tibias et base des métatarses des pattes III, rouge testacé; tarse III ailleurs, brun rougeâtre; épérons des tibias II et III pâles; sclérites axillaires brun poix; costale jaune testacé presque entièrement; ailes hyalines à soies colorées; stigma opaque, brun, ainsi que les nervures sous le stigma, les autres pâles, décolorées.

♂ : semblable aux caractères décrits de la ♀, excepté les suivants :

Ailes hyalines un peu laiteuses, à soies incolores; stigma discalement hyalin, avec une très faible coloration jaunâtre, bordé de brun rougeâtre; toutes les nervures incolores; métacarpe brun rougeâtre.

♀. *Tête* : ligne faciale plus courte que la transfaciale; face peu brillante, à petite ponctuation légèrement rugueuse, quelques stries transversales et une courte carène longitudinale médiane sous les torules; clypéus bien différencié de la face; ostioles faciales à peine plus près de l'apex du clypéus que des yeux; vertex et occiput sculptés comme la face, mais un peu plus fortement; ocelles postérieurs distinctement un peu plus près l'un de l'autre que des yeux; antennes un peu plus courtes que le corps chez la ♀ (brisées chez le ♂); 1^{er} article du flagellum 3 fois plus long que large (♀) (12 : 4), 3,5 fois (♂) (14 : 4); flagellum plus épais que chez *Ap. alastor*, les quatre articles préapicaux 1,5 fois plus longs que larges (fig. 263).

Thorax : mésonotum mat, rugoso-ponctué, un peu moins finement et moins densément que chez *Ap. alastor*, ligne des notaulices plus apparentes; sillon préscutellaire droit, plus large, crénelé; disque du scutellum un peu plus long que sa largeur basale, aussi rugueux que le mésonotum; pilosité du mésonotum et du disque du scutellum notablement plus forte que chez *Ap. alastor*; propodeum petitement ponctué et marqué ordinairement de rides obliques vers le milieu dans la moitié basale, plus lisse et plus brillant dans la moitié apicale, également avec quelques rides espacées, mais pas de ponctuation; aréole en forme de V à l'apex, carènes apicales faibles et ramifiées, carènes basales fortes formant un angle moins aigu que les apicales, se rejoignant au quart basal du propodeum et réunies à la base de celui-ci par une carène longitudinale médiane courte et forte, qui se divise à l'extrême base pour border, en V, une forte échancrure médiane, ces carènes ainsi que la médiane parfois mal marquées ou partiellement absentes, costules courtes, droites et assez fortes.

Ailes : 1^{re} abscisse de la radiale un peu plus courte que la largeur du stigma, 1/3 plus longue que la transverso-cubitale et formant avec celle-ci une incurvation sans angle bien défini à leur point de jonction, qui est à peine discernable; partie apicale de la 1^{re} abscisse de la cubitale un peu

plus courte que la transverso-cubitale et près de la moitié de la récurrente; stigma environ égal au métacarpe (fig. 264).

Pattes III : hanches mates, rugoso-punctuées et parfois obliquement striées en dessus, petitement punctuées et plus brillantes sur la face externe, étroitement punctuées et mates en dessous. Proportions : hanches, 20/32; fémurs, 15/40; tibias, 9/50; tarses : I, 26; II, 11; III, 9; IV, 7; V, 8; le plus long éperon des tibias un peu plus de la 1/2 et le plus court le 1/3 de la longueur des métatarses. Les proportions se présentent à peu près dans le même rapport que chez *Ap. alastor*, les fémurs sont toutefois plus larges.

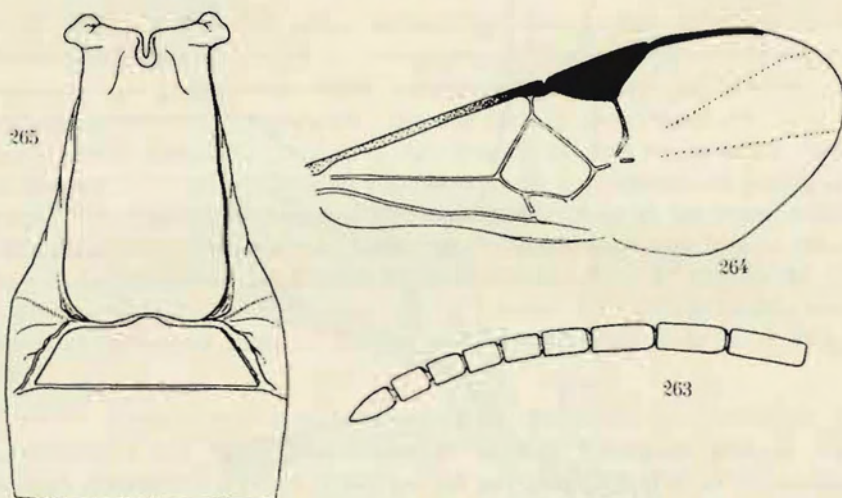


Fig. 263-265. — *Apanteles sarpedon* sp. n. ♀.

Fig. 263. — Sommet de l'antenne.

Fig. 264. — Détail de la nervation de l'aile antérieure.

Fig. 265. — Détail des trois premiers tergites abdominaux.

Abdomen (fig. 265) : tergite I assez mat, excavé à la base et lisse, vaguement sculpté ailleurs dans le tiers basal, assez grossièrement rugueux dans les 2/3 apicaux, faiblement courbé et légèrement proéminent au milieu, sa longueur médiane 2,4 fois sa largeur apicale, un peu plus de 2 fois sa largeur basale et 1,6 fois sa plus grande largeur située près de l'apex (24 : 10 : 11 : 15), ses bords latéraux plus ou moins sinués et bordés irrégulièrement, divergents jusque près de l'apex, ensuite incurvés jusqu'à celui-ci qui est émarginé et à angles très arrondis; tergite II brillant, très petitement sculpté, à apparence chagrinée, portant quelques rares soies vers l'apex, sa base un peu plus large que la largeur apicale du I et ses angles antérieurs un peu arrondis, ses sillons latéraux droits et divergents, sa longueur médiane 1,66 fois plus courte que la largeur apicale du I, 1,33 fois plus courte que sa propre largeur apicale et 1,66 fois plus courte que le III; ce dernier lisse et brillant, sauf l'habituelle petite ponctuation, absente

dans le tiers basal et une bande médiane; 2^e suture mince et droite, hypopygium non membraneux, large et assez court, à apex légèrement arrondi et non fendu (fig. 267); valves de la tarière un peu plus longues que les métatarses III (fig. 266).

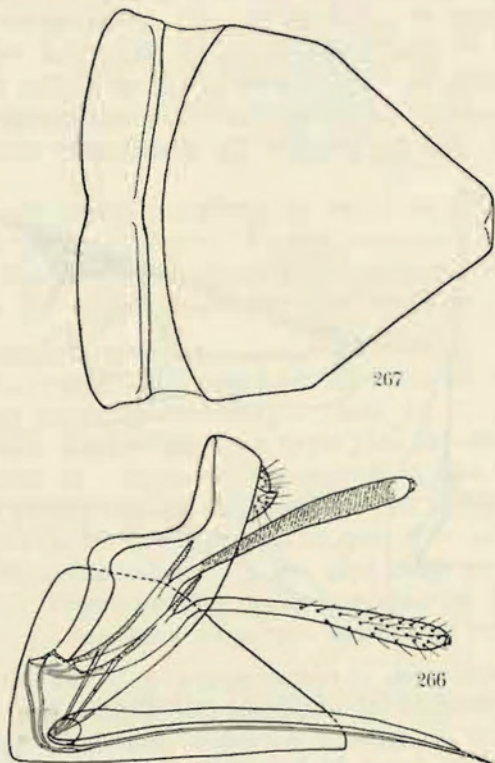


Fig. 266-267. — *Apanteles sarpedon* sp. n.

Fig. 266. — Hypopygium et genitalia, vus de profil.

Fig. 267. — Hypopygium, ouvert.

♂ : semblable à la description ci-dessus, excepté les caractères suivants :

Tergite I faiblement rugueux et terne, non proéminent, légèrement convexe, assez plat à l'apex, bords latéraux non bordés, apex à peine échancré; tergite II plus brillant, à peine et très superficiellement sculpté.

Longueur : ♂, 2,6 mm.; ♀, 3 mm.

DISTRIBUTION GÉOGRAPHIQUE : Tshengelero, près de Munagana (alt. 1.750 m., 21.VIII.1934), holotype ♀; Ruhengeri, sources Kirii, Ruanda (alt. 1.800-1.825 m., 1.X.1934), allotype ♂; vers Rweru, volcan Mikeno, forêt de Bambous (alt. 2.400 m., 26-27.VII.1934), 2 paratypes ♀ ♀; Mubiliba, volcan Nyamuragira (alt. 2.000 m., 14-26.VI.1935); Kitondo, près de Gandjo (alt. 2.000 m., 7-23.I.1935); 7 exemplaires : 1 ♂, 6 ♀ ♀.

107. — **Apanteles alastor** sp. n.

(Fig. 268-273.)

♂ ♀ : noirs; palpes, pattes I depuis le 1/3 apical des fémurs, au moins la moitié basale de la costale, rouge testacé; tibias et tarsi des pattes II, brun sombre; tarsi III brun noirâtre; base des tibias II et III parfois rougeâtre; sternites de la base et hypopygium, rouge sombre; ailes hyalines à soies colorées; stigma brun pâle, un peu diaphane, à bords sombres; nervures presque incolores, sauf la 1^{re} abcisse de la radiale, transverso-cubitale et partie pigmentée de la 2^e abcisse de la cubitale.

♂ ♀. *Tête*: face à peu près carrée, légèrement plus étroite à la base, médiocrement brillante, à petite ponctuation dense, tendant à être rugueuse, marquée de quelques faibles stries transversales sous les torules ainsi qu'une courte ligne médiane proéminente; clypéus peu ou pas différencié de la face; ostioles faciales plus près de l'apex du clypéus que des yeux; front, derrière les antennes, lisse et brillant; vertex et occiput à ponctuation petite, dense et rugueuse; ocelles postérieurs équidistants entre eux et les yeux; antennes effilées distalement, égales à la longueur du corps plus une fois la tête (♀), égale à la longueur du corps plus deux fois la tête (♂); 1^{er} article du flagellum un peu plus de 2,5 fois plus long que large (11 : 4); les quatre articles préapicaux subégaux chez la ♀, les deux préapicaux chez le ♂ (fig. 268 et 269).

Thorax: mésonotum mat, étroitement et finement rugoso-ponctué, marqué, parfois, d'une ligne longitudinale médiane brillante, près de l'apex, lignes des notaulices à peine discernables par une rugosité faiblement différente; sillon préscutellaire faiblement arqué, peu profond et crénelé; disque du scutellum à faible convexité, 1,4 fois plus long que sa largeur basale, à apex aigu, un peu moins mat que le mésonotum, fortement rugoso-ponctué, mais pas tout à fait aussi étroitement que le mésonotum; mésopleures lisses et brillants au milieu et vers l'arrière, fortement ponctués presque rugueux antérieurement, souvent striés près du cochléar, celui-ci bien marqué; suture méso-métapleurale crénelée dans sa partie inférieure; métapleurales lisses et brillants antérieurement, rugueux postérieurement, à sillon médian vaguement crénelé; propodeum médiocrement brillant, assez grossièrement rugueux dans la moitié basale, marqué de quelques rides dans la moitié apicale, qui est plus lisse et plus brillante; aréole plus ou moins lisse et un peu déprimée, à carènes assez fortes apicalement, en forme de V à l'apex, environ aussi large que longue, basalement moins bien marquée et de sculpture irrégulière, paraissant parfois fermée, parfois ouverte, les carènes basales subparallèles jusque près de la base du propodeum, de part et d'autre d'une aire médiane excavée, costules droites.

Ailes: 1^{re} abcisse de la radiale égale à la largeur du stigma, perpendiculaire au bord antérieur de l'aile, double de la transverso-cubitale qui est plus

épaisse et formant avec elle un angle bien marqué; partie apicale de la 1^{re} abcisse de la cubitale un peu plus longue que la transverso-cubitale, 1,5 fois plus longue que la partie pigmentée de la 2^e abcisse de la cubitale et

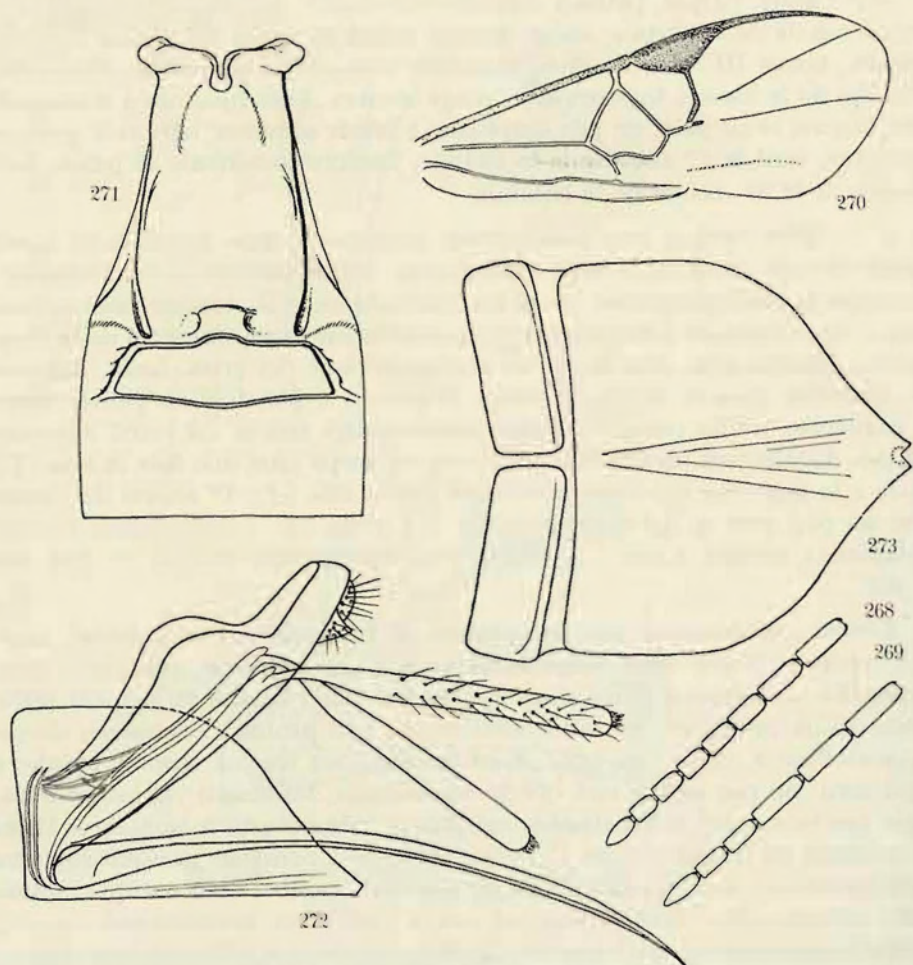


Fig. 268-273. — *Apanteles alastor* sp. n.

Fig. 268. — Sommet de l'antenne ♀. Fig. 269. — Sommet de l'antenne ♂.

Fig. 270. — Détail de la nervation de l'aile antérieure.

Fig. 271. — Détail des trois premiers tergites abdominaux.

Fig. 272. — Hypopygium et genitalia, vus de profil.

Fig. 273. — Hypopygium, ouvert.

environ égale aux $\frac{3}{4}$ de la longueur de la récurrente; stigma un peu plus court que le métacarpe (fig. 270).

Pattes III : hanches mates, rugueuses, plus finement et plus superficiellement que le mésonotum. Proportions : hanches, $\frac{18}{30}$; fémurs, $\frac{13}{40}$; tibias,

9/46; tarsses : I, 24; II, 11; III, 8; IV, 6; V, 6; le plus long éperon des tibias la moitié et le plus court le tiers de la longueur des métatarses.

Abdomen (fig. 271) : tergite I lisse, brillant et excavé à la base, proéminent au milieu, courbé un peu au delà du milieu, finement rugueux ailleurs dans la moitié basale, plus grossièrement rugueux-ruguleux dans la moitié apicale, marqué dans cette partie d'une aire longitudinale médiane un peu déprimée et sculptée, portant à l'apex une aire médiane lisse et brillante; sa longueur médiane 2 fois sa largeur apicale, un peu plus de 2 fois sa largeur basale et 1,6 fois sa plus grande largeur située au tiers apical, ses bords latéraux divergents de la base au tiers apical, incurvés ensuite jusqu'à l'apex, celui-ci échancré au milieu et à angles non arrondis; tergite II très finement sculpté, faiblement rugueux, assez mat, à peine proéminent discalement et portant quelques très petites soies dans la moitié apicale, sa longueur médiane, moitié moindre que la largeur apicale du I et 1,66 fois plus courte que la longueur médiane du III, ses sillons latéraux un peu courbés dans les angles antérieurs, divergents sur les côtés; 2^e suture mince, un peu arquée au milieu, presque droite; tergite III brillant, à petite ponctuation habituelle, absente dans un espace obtriangulaire à la base; hypopygium membraneux, aigu, à apex légèrement fendu (fig. 272 et 273); valves de la tarière de la longueur des tibias III (fig. 272).

Longueur : 2,8 mm.

DISTRIBUTION GÉOGRAPHIQUE : Rutshuru (alt. 1.285 m., 4.VII.1935), holotype ♀, 1 paratype ♀, 2 paratypes ♂♂; idem (1-6.VI.1935, 2, 3 et 4.VII.1935); ibidem (13.VII.1935), allotype ♂; ibidem (23.VII.1934, 16.X.1934); Sake, lac Kivu (alt. 1.460 m., 19-22.II.1934); Kalondo, lac Ndaraga, Mokoto (alt. 1.750 m., 22-27.III.1934); Nzulu, Sake (alt. 1.500 m., 9-14.II.1934); 19 exemplaires : 10 ♂♂, 9 ♀♀.

AFFINITÉS : Cette espèce se caractérise principalement par la rugosité du disque du scutellum qui l'a fait se placer, dans la clef de WILKINSON, en même temps que l'espèce cinghalaise *Ap. significans* WALK., dont elle se sépare immédiatement par la forme du 1^{er} tergite abdominal. Elle ne se place ni dans la clef de MUESEBECK, ni dans celle de FAHRINGER.

a) ***Apanteles alastor nyongera*** ab. n.

Semblable à l'espèce, à l'exception des caractères suivants :

♀. *Coloration* : pattes I et II (sauf les hanches), trochanters, trochantelles, extrême base des fémurs, moitié basale des tibias et base des métatarses des pattes III, rouge testacé.

♀. *Tête* : ligne transfaciale plus longue que la ligne faciale; face un peu plus brillante, ponctuation à tendance moins rugueuse, pas de stries transversales sous les torules; clypéus différencié de la face par sa convexité; vertex et occiput à petite ponctuation non rugueuse.

Abdomen : tergite I plus mat, à sculpture plus fine, à peine proéminent au milieu; sculpture du tergite II à stries longitudinales légèrement apparentes, ainsi que quelques ponctuations superficielles, sa longueur médiane 1,7 fois plus courte que la largeur apicale du I, 2,4 fois plus courte que sa propre largeur apicale et 1,7 fois plus courte que la longueur médiane du III (7 : 12 : 17 : 12), le tergite II est, par suite, moins large et un peu plus long; 2^e suture arquée vers l'arrière; valves de la tarière un peu plus courtes que les tibias III.

DISTRIBUTION GÉOGRAPHIQUE : Nyongera, près de Rutshuru (alt. 1.218 m., 17.VII.1935), holotype ♀; Kinyamahura, Djomba (alt. 1.800 m., 23.VIII.1934); Nzulu, Sake (alt. 1.500 m., 9-14.II.1934); 3 exemplaires ♀ ♀.

108. — **Apanteles megagaster** sp. n.

(Fig. 274-279.)

♀ : noire; palpes, apex des hanches et restant des pattes I (tarses un peu plus sombres), hanches (parfois noires à la base), trochanters, trochantelles, fémurs (sauf une légère enfumure sur la face supérieure à l'apex) et tibias (sauf l'apex) des pattes II, extrême apex des hanches, trochanters, trochantelles, environ la moitié basale des fémurs (sauf la partie supérieure sur une étendue variable), environ la moitié basale des tibias des pattes III (sauf une légère enfumure sur la face supérieure) sternites et hypopygium, rouge testacé; apex des tibias et tarses des pattes II, brun noirâtre; tibias ailleurs et tarses des pattes III, noir brunâtre; tegulae rouge sombre; ailes enfumées, légèrement jaunâtres; stigma opaque, brun comme les nervures, celles-ci à peine plus claires; épérons des tibias II et III, pâles.

♂ : semblable à la ♀, à l'exception des caractères suivants : extrême apex des hanches et restant des pattes I (sauf les tarses, bruns), extrême apex des hanches, trochanters, trochantelles, partiellement les fémurs (ces derniers présentent des parties assombries) et 3/4 basilaires des tibias des pattes II, extrême apex des hanches, partie inférieure des trochanters, trochantelles et de l'extrême base des fémurs, moitié basale des tibias (plus largement en dessous) des pattes III, rouge testacé; pattes ailleurs, noir brunâtre à noir. Les pattes chez le ♂ sont parfois très sombres, les parties rouges à peine perceptibles.

♂ ♀. *Tête* : face un peu plus large que longue, assez mate, à petite ponctuation (degré 2) régulière, densément placée, donnant un aspect presque rugueux au tégument; clypéus faiblement différencié de la face; ostioles faciales un peu plus près de l'apex du clypéus que des yeux; vertex à très petite ponctuation, presque lisse; occiput plus densément ponctué que le vertex, mais moins fortement que la face; espace oculo-ocellaire égal à la distance séparant les ocelles postérieurs; antennes égales à la longueur du corps plus une fois la tête chez la ♀, égales à la longueur du corps plus deux fois la tête chez le ♂; 1^{er} article du flagellum 3,75 fois plus long que large chez

la ♀ (15 : 4), légèrement plus court et plus épais chez le ♂, articles préapicaux environ 2 fois plus longs que larges chez la ♀, 3 fois chez le ♂ (fig. 275 et 276).

Thorax : mésonotum brillant, à ponctuation (degré 3) assez dense, peu profonde, très superficielle latéralement, un peu plus serrée et plus profonde sur les lignes des notaulices qui sont, cependant, peu marquées; sillon pré-scutellaire droit ou faiblement arqué, parfois assez large, irrégulièrement crénelé, parfois petitement; disque du scutellum très plat, tronqué, 2 fois plus large à la base qu'à l'apex, brillant, à ponctuation (degré 2) éparse, rare sur le disque, parfois aussi dense que sur les parties latérales du mésonotum; partie lisse des axillae atteignant, au moins, la moitié de la longueur du disque; mésopleures brillants, à forte ponctuation bien espacée antérieurement, lisses ailleurs; suture méso-métapleurale petitement crénelée; métapleurales lisses antérieurement, rugoso-ponctuées postérieurement; propodeum assez brillant, orné d'une petite aréole arrondie à l'apex, triangulaire à la base, reliée à la base du propodeum par une carène longitudinale médiane aussi longue que les carènes basales de l'aréole, un peu élargie à l'extrême base, parfois très faible, l'aréole pouvant même paraître ouverte, costules droites, sauf tout à fait latéralement et placées au tiers apical du propodeum, toutes ces carènes fortes, bien marquées; légument à ponctuation sétigère forte et bien distincte basalement aux costules, petite et bien séparée à la base du propodeum, progressivement plus forte vers les costules et latéralement, où elle devient alvéolaire, même rugueuse près des costules, plus brillante dans l'aréole et apicalement aux costules, avec quelques rides (fig. 277).

Ailes : 1^{re} abcisse de la radiale naissant au delà du milieu du bord postérieur du stigma, oblique, subparallèle à la 1^{re} abcisse de la cubitale, égale

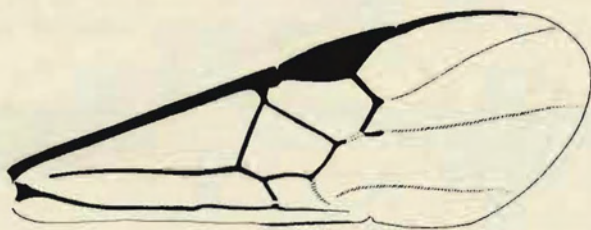


FIG. 274. — *Apanteles megagaster* sp. n., aile antérieure.

ou un peu plus longue que la largeur du stigma, environ 1/4 plus longue que la transverso-cubitale; ces deux nervures formant un angle bien marqué entre elles, leur point de jonction prolongé par un petit tronçon; partie apicale de la 1^{re} abcisse de la cubitale à peine plus courte que la transverso-cubitale et égale aux 2/3 de la récurrente, qui est égale à la 1^{re} abcisse de la radiale; stigma égal ou un peu plus court que le métacarpe (fig. 274).

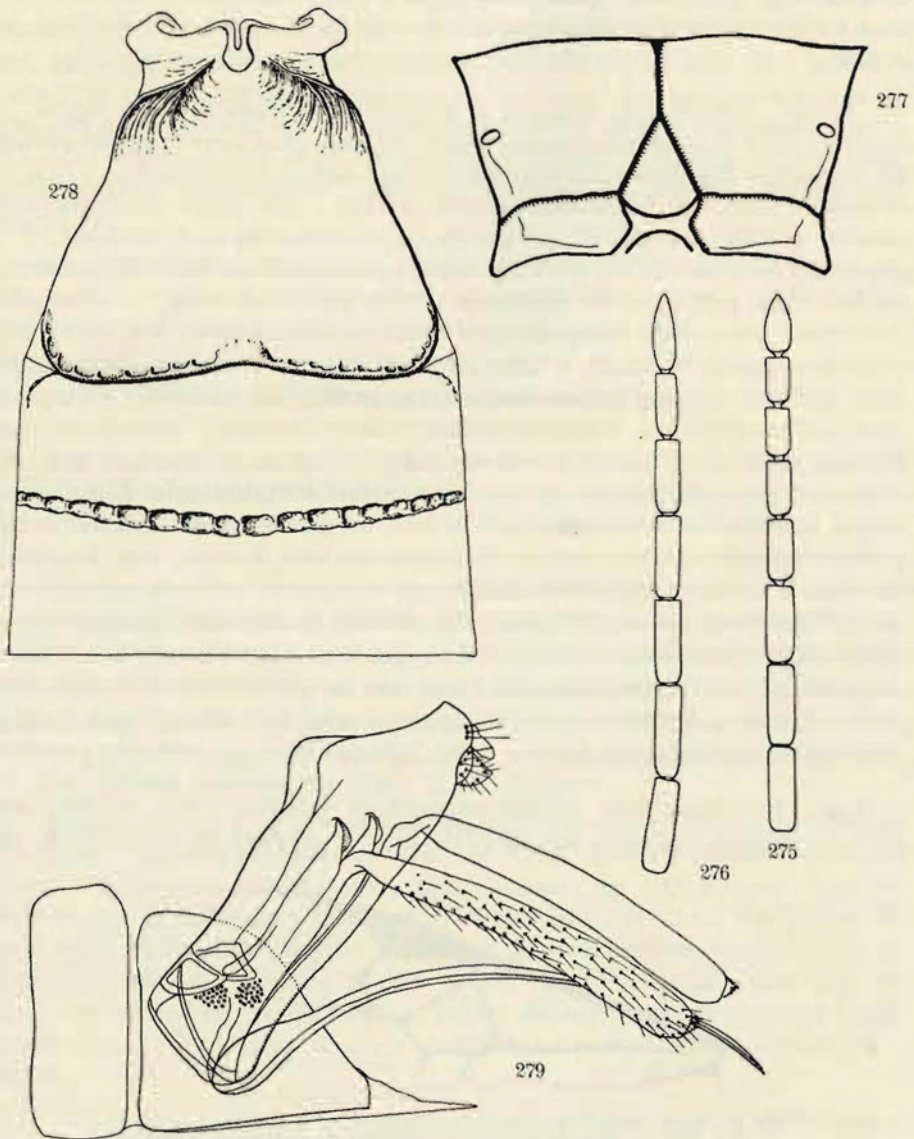


FIG. 275-279. — *Apanteles megagaster* sp. n.

FIG. 275. — Sommet de l'antenne ♀. FIG. 276. — Sommet de l'antenne ♂.

FIG. 277. — Schéma de l'aréolation du propodeum.

FIG. 278. — Détail des trois premiers tergites abdominaux.

FIG. 279. — Hypopygium et genitalia, vus de profil.

Pattes III : hanches brillantes, à ponctuation (degré 3) bien marquée, plus forte et plus dense à la base en dessus; fémurs à petite ponctuation régulière, un peu saillante. Proportions : hanches, 18/36; fémurs, 15/43; tibias, 11/60; tarsi : I, 30; II, 13; III, 9; IV, 7; V, 9; le plus long éperon des tibias un peu plus de la moitié et le plus court la moitié de la longueur des métatarses; onychiums très développés.

Abdomen (fig. 278) : tergite I un peu excavé près de la base, courbé vers la moitié, très légèrement proéminent au milieu un peu avant la moitié et faiblement convexe ailleurs, brillant et ruguleux dans le 1/4 basal, fortement rugoso-ponctué dans les 3/4 apicaux, à ponctuation grande, profonde, les intervalles marqués d'une petite réticulation donnant l'apparence rugueuse; sa longueur médiane 1,2 fois plus *courte* que sa largeur apicale, 1,75 fois plus grande que sa largeur basale et 1,3 fois sa plus grande largeur située un peu avant l'apex, celui-ci faiblement échancré (26 : 32 : 16 : 34), ses bords latéraux fortement divergents jusqu'au point le plus large, ensuite largement incurvés pour former les angles apicaux; tergite II mat et sculpté comme le I, un peu plus large que la plus grande largeur de ce dernier et se trouvant sur le même plan, sa longueur médiane 2,2 fois plus courte que la largeur apicale du I et 2,5 fois sa propre largeur (14 : 32 : 36), sillons latéraux absents; 2^e suture forte, profonde, plus ou moins fovéolée et légèrement arquée vers l'arrière; tergite III brillant, à ponctuation (degré 2) assez superficielle et largement espacée, sa longueur médiane 1,27 fois plus *courte* que celle du II (11 : 14); tergites suivants brillants, à petite ponctuation habituelle; hypopygium de conformation spéciale, présentant une certaine analogie avec celui de l'espèce méditerranéenne *Ap. olivierellae* WILKN.; court, obtus à l'apex, fendu sur sa ligne médiane à la partie inférieure et prolongé par une membrane allongée se terminant en pointe aiguë; valves de la tarière fortes, plus longues que les fémurs III, mais plus courtes que les tibias III, environ de la longueur des trois premiers articles des tarsi III (fig. 279).

Longueur : 3,6 mm.

DISTRIBUTION GÉOGRAPHIQUE : May ya Moto (alt. 950 m., 9.XI.1934), holotype ♀, allotype ♂ et paratypes; Ruhengeri, riv. Penge, Ruanda (alt. 1.800-1.825 m., 29.IX.1934); riv. Molindi, entre Kirumba et le lac Kibuga (alt. 1.000 m., 31.IV, 2.V.1934); 11 exemplaires : 6 ♂♂, 5 ♀♀.

OBSERVATIONS : *Ap. megagaster*, présente plusieurs caractères inhabituels qui ne furent pas encore rencontrés, simultanément, chez d'autres espèces. Cette espèce est surtout remarquable par la forme très élargie du 1^{er} tergite abdominal et la carénation du propodeum.

109. — **Apanteles longistylus** sp. n.

(Fig. 280-284.)

♂♀ : noirs; pattes I (sauf les hanches et l'article apical des tarsi), trochanters plus ou moins, trochantelles, vaguement l'extrême base et

l'extrême apex des fémurs, tibias partiellement et tarses (sauf l'article apical) des pattes II, trochantelles, vaguement la base des fémurs et la base des tibias des pattes III, hypopygium, rouge testacé foncé; tibias et tarses III, brun noirâtre (chez le ♂, les pattes sont à peu près complètement noires ou noire brunâtre, les trochanters, trochantelles et légèrement la base des tibias III sont rougeâtres, tandis que chez la ♀, les colorations rougeâtres et noires sont assez irrégulièrement réparties); palpes rouge testacé sale; éperons des tibias II et III, pâles; ailes hyalines, légèrement jaunâtres; stigma opaque, brun ainsi que les nervures.

♂ ♀. *Tête* : face à peu près carrée, brillante, à ponctuation (degré 4) régulière, dense; clypéus légèrement différencié de la face; ostioles faciales beaucoup plus près de l'apex du clypéus que des yeux; vertex lisse et brillant; occiput ponctué plus finement et plus éparsément que la face; ocelles postérieurs beaucoup plus rapprochés l'un de l'autre que des yeux; antennes égales à la longueur du corps plus 1 fois la tête chez la ♀; égales à la longueur du corps plus environ 1 fois l'abdomen chez le ♂; 1^{er} article du flagellum environ 3 fois plus long que large chez la ♀ (10 : 3) et chez le ♂ (12 : 4), les deux articles préapicaux subégaux chez la ♀ (fig. 280 et 281).

Thorax : mésonotum brillant, à ponctuation (degré 4) ronde, bien marquée, les pointillés séparés par une distance un peu moindre que leur propre diamètre, à peine plus denses le long des lignes des notaulices qui sont à peine apparentes, les intervalles, entre la ponctuation, marqués d'une très petite aciculation, plus distincte latéralement; tégument lisse près du bord apical; sillon préscutellaire étroit, légèrement arqué et faiblement crénelé; disque du scutellum à faible convexité, brillant, portant quelques pointillés à peine esquissés; mésopleures lisses et brillants, sauf une légère ponctuation dans l'angle huméral; suture méso-métapleurale finement crénelée; métapleurales lisses et brillants, à peine légèrement sculptés près du bord coxal, à sillon médian lisse; propodeum rugoso-ponctué basalement aux costules, à peu près lisse dans les angles antéro-externes et portant quelques rugules apicalement aux costules, les intervalles lisses et brillants; aréole incomplète, en forme de U à l'apex, à carènes faibles limitées au tiers apical du propodeum, vaguement ramifiées ensuite, costules plus faibles que les carènes de l'aréole, légèrement obliques postéro-antérieurement.

Ailes : 1^{re} abcisse de la radiale un peu plus courte que la largeur du stigma et que la transverso-cubitale, qui lui est sensiblement égale, ces deux nervures formant entre elles un angle bien marqué et épaissies à leur point de jonction, du côté externe; partie apicale de la 1^{re} abcisse de la cubitale et partie pigmentée de la 2^e abcisse d'égale longueur et environ égales aux 2/3 de la récurrente; stigma plus court que le métacarpe (fig. 282).

Pattes III : hanches brillantes, imperceptiblement ponctuées, virtuellement lisses, excepté 2 ou 3 grosses ponctuations sur la facette plane en dessus à la base. Proportions : hanches, 18/30; fémurs, 11/44; tibias, 8/55; tarses :

I, 26; II, 13; III, 10; IV, 8; V, 8; le plus long éperon des tibias moins de la $\frac{1}{2}$ et le plus court un peu plus du $\frac{1}{4}$ de la longueur des métatarses.

Abdomen (fig. 283) : tergite I excavé à la base, fortement proéminent au milieu et faiblement courbé, ruguleux à la base, finement rugueux ailleurs, sa longueur médiane 1,69 fois sa largeur apicale et 1,83 fois sa largeur basale (22 : 13 : 12), ses bords latéraux subparallèles, plus fortement divergents très près de l'apex, en sorte que les angles apicaux sont un peu saillants, à peine arrondis, apex échancré; sculpture du tergite II constituée par des stries disposées plus ou moins concentriquement, ses sillons laté-

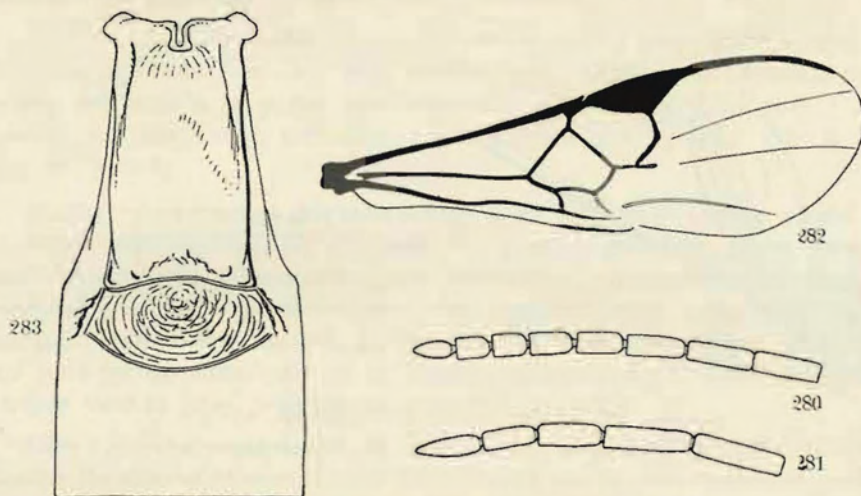


FIG. 280-283. — *Apanteles longistylus* sp. n.

FIG. 280. — Sommet de l'antenne ♀. FIG. 281. — Sommet de l'antenne ♂.

FIG. 282. — Détail de la nervation de l'aile antérieure.

FIG. 283. — Détail des trois premiers tergites abdominaux.

raux minces, droits et divergents, dépassant parfois fortement la partie sculptée; longueur médiane du tergite II, 1,62 fois plus courte que la largeur apicale du I et 1,37 fois plus courte que la longueur médiane du III (8 : 13 : 11); 2^e suture mince et très fortement arquée vers l'arrière, parfois absente; tergite III brillant, sans sculpture, mais présentant à la base de vagues irrégularités, lisse ailleurs, sauf l'habituelle petite ponctuation localisée à la moitié apicale; hypopygium membraneux, prolongé, aigu et fendu, sans foramen; valves de la tarière particulièrement longues et étroites (fig. 284), égales à la longueur des tibias et tarsi III réunis. Chez le ♂, le tergite I est environ de même largeur au sommet qu'à la base; la sculpture du tergite II est plus localisée au disque, les sillons latéraux sont un peu moins divergents et plus longs, la 2^e suture est généralement obsolète.

Longueur : ♂, 2,6 à 2,8 mm.; ♀, 2,6 mm.; valves de la tarière, 2 mm.

DISTRIBUTION GÉOGRAPHIQUE : Ruhengeri, riv. Penge, Ruanda (alt. 1.800-1.825 m., 30-31.VIII.1934); vers le mont Kamatembe (alt. vers 2.300 m., 7-23.I.1935); Kinyamahura, Djomba (alt. 1.800 m., 23.VIII.1934), holotype ♀; Burunga, Mokoto (alt. 2.000 m., 9.III.1934), allotype ♂ et 1 paratype ♂; Kibali (alt. 1.900 m., 12-13.I.1934), paratype ♀; Ruhengeri, sources Kirii, Ruanda (alt. 1.800-1.825 m., 31.VIII.1934); Kalondo, lac Ndaraga, Mokoto (alt. 1.750 m., 22-27.III.1934); Ngesho (alt. 2.000 m., 3-6.IV.1934); Nyarusambo (alt. 2.000 m., 30.VI, 2.VII.1934); 24 exemplaires : 21 ♂♂, 3 ♀♀.

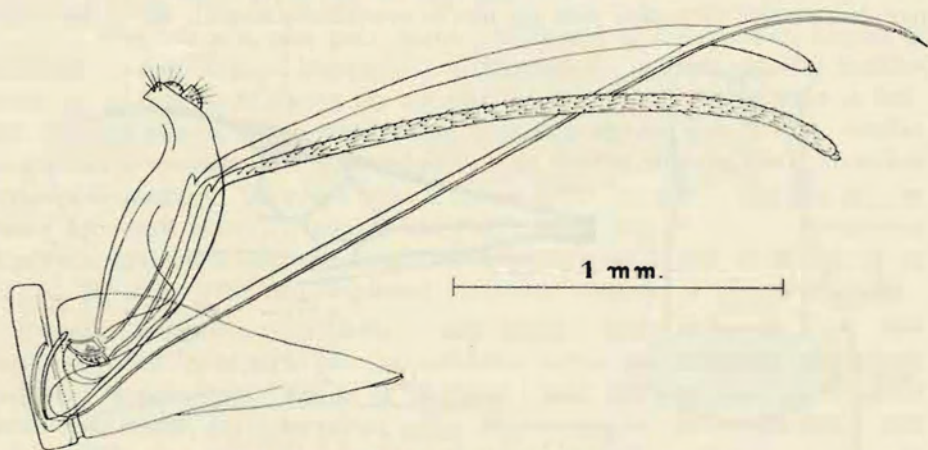


FIG. 284. — *Apanteles longistylus* sp. n., hypopygium et genitalia, vus de profil.

OBSERVATIONS : Cette espèce est remarquable par la longueur exceptionnelle de la tarière et de ses valves, ainsi que par la sculpture du 2^e tergite abdominal. Elle ne correspond à aucune des espèces figurant dans la clef de WILKINSON et ne se place pas, non plus, dans les clefs de MUESEBECK et de FAHRINGER.

a) ***Apanteles longistylus kashwa*** ab. n.

Cette aberration est tout à fait semblable à l'espèce et n'en diffère que par les caractères suivants :

♀ : extrême apex de toutes les hanches, toutes les pattes excepté les tarsi et l'apex des tibia III, rouge testacé; tarsi et apex des tibia III beaucoup plus sombres; article apical des tarsi, brun noirâtre; ponctuation du mésonotum plus fine (degré 3); sculpture des tergites I et II plus superficielle.

DISTRIBUTION GÉOGRAPHIQUE : Kashwa, entre Ngesho et Bishakishaki (alt. 2.000 m., 7-23.I.1935), holotype ♀; 1 exemplaire.

La différence de coloration présentée par ce spécimen n'est pas due à un état d'immaturation.

110. — **Apanteles failax** sp. n.

(Fig. 285-288.)

Espèce très voisine de *Ap. xanthopholis* (n° 113), dont elle se distingue par les caractères suivants :

♂ ♀ : pièces buccales y compris le labre, scapes (partiellement chez le ♂), apex des hanches III moins fortement, éperons des tibias II et III, rouge testacé; tegulae rouge noirâtre, sombre; pas d'enfumure apicale aux fémurs III; tibias et tarses III brun rougeâtre (tibias un peu plus clairs à la base chez le ♂); pattes ailleurs, rouge testacé; flagellum brun noirâtre, stigma brun foncé, nervures un peu plus pâles.

♀. *Tête* : face brillante, à ponctuation beaucoup plus forte (degré 2 à 3) que chez *Ap. xanthopholis*, bien séparée, plus faible latéralement, pas de carène médiane à la partie supérieure; ocelles un peu plus près l'un de l'autre que des yeux; antennes distinctement plus courtes que le corps (fig. 285 et 286).

Thorax : ponctuation du mésonotum plus forte et profonde (degré 4), à pointillés bien séparés, par environ leur propre diamètre; sillon présutellaire droit; disque du scutellum plat, tronqué à l'apex, brillant et lisse sauf quelques très petits pointillés près des bords latéraux; cochléar fortement marqué; ponctuation basale du propodeum mieux marquée, carènes un peu plus fortes, ramifications de l'aréole plus étendues, paraissant fermer l'aréole vers la base, légèrement arrondies à l'apex.

Ailes : stigma assez large; 1^{re} abcisse de la radiale plus courte que la largeur du stigma et environ 1/3 plus longue que la transverso-cubitale, ces deux nervures formant entre elles un angle bien marqué, leur point de jonction indiqué par un petit tronçon; partie apicale de la 1^{re} abcisse de la cubitale de même longueur que la transverso-cubitale, plus longue que la partie pigmentée de la 2^e abcisse et égale aux 2/3 de la récurrente; sommet de la basale très court; stigma plus court que le métacarpe (fig. 287).

Pattes III : hanches fortes et larges, lisses et brillantes, portant quelques petits pointillés en dessus à la base. Proportions : hanches, 21/35; fémurs, 14/44; tibias, 9/50; tarses : I, 25; II, 11; III, 8; IV, 6; V, 9; le plus long éperon des tibias 3/5 et le plus court 2/5 de la longueur des métatarses.

Abdomen (fig. 288) : tergite I faiblement courbé au delà du milieu, beaucoup plus proéminent médialement que chez *Ap. xanthopholis*, à rugosité grossière, sa longueur médiane 1,27 fois sa largeur apicale et 1,53 fois sa largeur basale (23 : 18 : 15), ses bords latéraux divergents faiblement de la base à l'apex, celui-ci émarginé et à angles arrondis; tergite II plus finement rugueux que le I, à stries longitudinales plus apparentes, ses sillons latéraux droits et parallèles, partant des angles apicaux du I, sa longueur médiane 1,8 fois plus courte que la longueur médiane du III (10 : 18 : 12); 2^e suture fortement arquée; hypopygium aigu, sans dévelop-

pement membraneux à la partie inférieure; valves de la tarière un peu plus longues que les tarsi III.

♂ : semblable à la description de la ♀, excepté : antennes très effilées, égales à la longueur du corps plus environ 1 fois la tête; tergite I plus étroit et à angles apicaux aigus (21 : 14 : 11); tergite II moins transverse (9 : 14 : 11).

Longueur : ♂, 2,8 mm.; ♀, 3 mm.

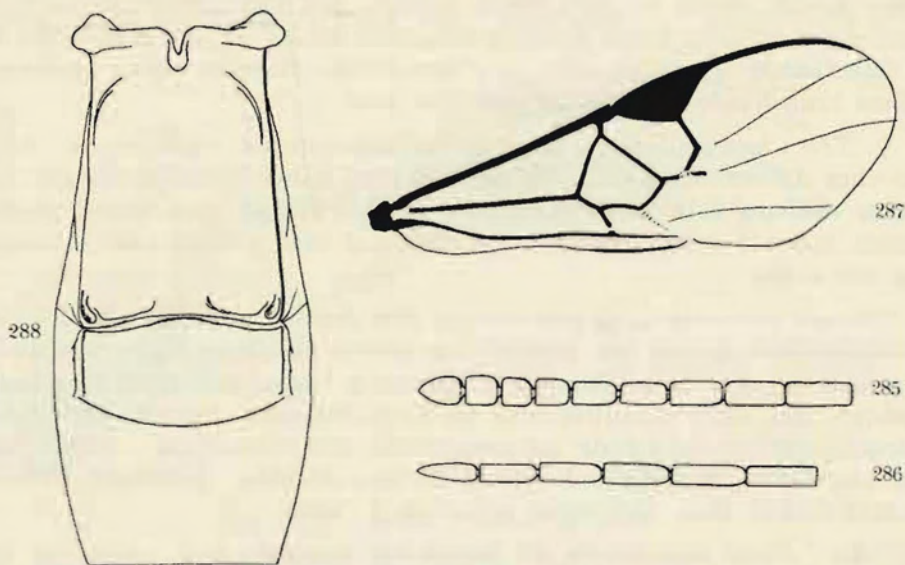


FIG. 285-288. — *Apanteles fallax* sp. n.

FIG. 285. — Sommet de l'antenne ♀. FIG. 286. — Sommet de l'antenne ♂.

FIG. 287. — Détail de la nervation de l'aile antérieure.

FIG. 288. — Détail des trois premiers tergites abdominaux.

DISTRIBUTION GÉOGRAPHIQUE : Rutshuru, riv. Musugereza (alt. 1.100 m., 10.VII.1935), holotype ♀; Rutshuru (alt. 1.285 m., 6-8.VI.1934), allotype ♂; Mayumbu, volcan Nyamuragira (alt. 2.100 m., 14-26.VI.1935); Burunga, Mokoto (alt. 2.000 m., 15-16.III.1934); vers Rweru, volcan Mikeno, forêt de Bambous (alt. 2.400 m., 26-27.VII.1934); Nyongera, près de Rutshuru (alt. 1.218 m., 18.VII.1935); Tshumba, Mushari (alt. 2.100 m., 28.IV, 1.V.1934); 11 exemplaires : 10 ♂♂, 1 ♀.

AFFINITÉS : Par les scapes rouge testacé, au moins en grande partie, cette espèce se place dans la clef de WILKINSON, en même temps que l'espèce javanaise *Ap. caniae* WILKN., elle en est nettement différente. L'espèce éthiopienne *Ap. hylas* WILKN. présente des caractères intermédiaires et semble devoir se placer entre *Ap. xanthopholis* et *Ap. furax*, cette espèce est de taille plus petite et se caractérise particulièrement des deux autres par la longueur des valves de la tarière.

111. — *Apanteles cyclorhaphus* sp. n.

(Fig. 289-290.)

Espèce ayant une grande affinité avec *Ap. fallax*, mais s'en distinguant par des caractères bien déterminés.

♀ : scapes partiellement et base des tibias III, rouge testacé, labre brun rougeâtre foncé, les autres colorations comme *Ap. fallax*.

♀. *Tête* : ligne oculo-ocellaire plus longue que la distance séparant les ocelles postérieurs; antennes de la longueur du corps plus environ 2 fois la tête, beaucoup plus minces que chez *Ap. fallax* (fig. 289).

Thorax : ponctuation du mésonotum un peu plus petite que chez *Ap. fallax*, mais plus régulière et plus étroitement placée, plus petite latérale-

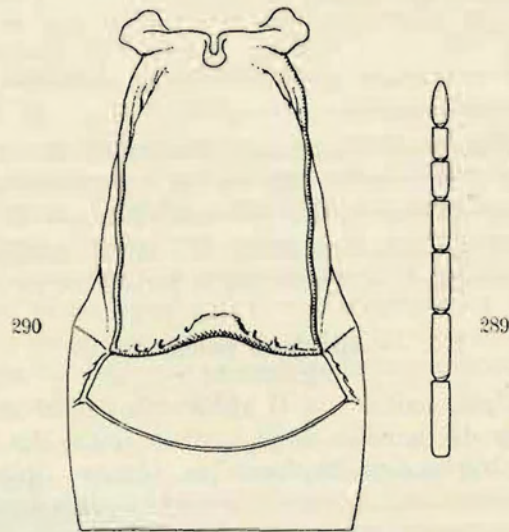
FIG. 289-290. — *Apanteles cyclorhaphus* sp. n. ♀.

FIG. 289. — Sommet de l'antenne.

FIG. 290. — Détail des trois premiers tergites abdominaux.

ment (degré 3); aréolation du propodeum semblable à celle de cette espèce, les carènes basales de l'aréole plus faibles et ne se rejoignant pas.

Pattes III : hanches plus étroites, 18/24; fémurs, 13/44; tibias, 8/52; tarses : I, 28; II, 13; III, 10; IV, 6; V, 9; le plus long éperon des tibias la 1/2 et le plus court un peu plus du 1/3 de la longueur des métatarses.

Abdomen (fig. 290) : tergite I bordé latéralement, excavé à la base, proéminent médialement et courbé au milieu, mat et ruguleux dans le 1/3 basal, grossièrement rugoso-ponctué ailleurs, sa longueur médiane 1,33 fois sa largeur apicale et 1,9 fois sa largeur basale (25 : 19 : 13), ses bords latéraux divergents près de la base, subparallèles ensuite et légèrement sinués, angles

apicaux aigus et un peu saillants, apex fortement émarginé, aire médiale petite; tergite II un peu mat, coriacé, à petite sculpture rugueuse accompagnée de quelques forts pointillés vers l'apex, qui n'apparaissent qu'occasionnellement lorsque la sculpture du tergite a tendance à diminuer d'intensité, sa longueur médiane 1,9 fois plus courte que la largeur apicale du I et 2,3 fois plus courte que sa propre largeur entre l'extrémité des sillons latéraux (10 : 19 : 23), ceux-ci faibles, droits, partant des angles apicaux du tergite I; 2^e suture très fortement arquée vers l'arrière; tergite III brillant et lisse, sauf quelques petits pointillés épars, absents près de la base, sa longueur médiane 1,43 fois plus courte que celle du II (10 : 7); hypopygium membraneux, à prolongement aigu; valves de la tarière très longues et étroites, beaucoup plus longues que les tarsi III, presque aussi longues que les fémurs et tibias III réunis.

Longueur : 2,8 mm., ♂, inconnu.

DISTRIBUTION GÉOGRAPHIQUE : escarpement de Kabasha (alt. 4.500 m., 14.XII.1934); 3 exemplaires ♀ ♀.

AFFINITÉS : Dans la clef de WILKINSON, cette espèce aboutit au couplet 151, mais ne correspond à aucune des espèces qui y figurent et s'en sépare par la longueur médiane du tergite III, nettement plus courte que celle du II.

Ap. cyclorhaphus se caractérise également par la courbure prononcée de la 2^e suture et la longueur des valves de la tarière.

112. — *Apanteles pelops* sp. n.

(Fig. 291-300.)

♂ ♀ : noirs; palpes, pattes I et II entièrement (sauf parfois une lache en dessus à la base des hanches II et l'article apical des tarsi), extrême apex des hanches, trochanters, trochantelles, fémurs, tibias, leurs éperons et la base des métatarses des pattes III (tibias III souvent enfumés à l'apex), bords latéraux membraneux des tergites I et II occasionnellement, nervure costale presque entièrement, sternites de la base et partie membraneuse de l'hypopygium, jaune-rouge testacé; scapes présentant quelquefois une tendance au rougeâtre; articles apicaux des tarsi I et II, bruns; tarsi III brun noirâtre; ailes légèrement enfumées, un peu jaunâtres; stigma et nervures sous le stigma, brun pâle à jaunâtres, les autres nervures jaune pâle à incolores; stigma parfois discalement plus hyalin.

♀. *Tête* : face nettement plus large que longue, à joues un peu renflées (fig. 291 et 292), satinée, à ponctuation (degré 1) dense et superficielle, presque absente sur les bords orbitaux, parfois pourvue d'une petite saillie sous les torules; clypéus peu ou pas différencié de la face; ostioles faciales légèrement plus près de l'apex du clypéus que des yeux; vertex assez long, lisse et brillant; occiput ponctué un peu plus fortement et plus distinctement que la face; espace oculo-ocellaire égal à deux fois la distance séparant les ocelles postérieurs; antennes égales à la longueur du corps plus environ

1 fois l'abdomen chez les deux sexes, légèrement amincies distalement; 1^{er} article du flagellum près de 4 fois plus long que large; articles préapicaux au moins 2 fois plus longs que larges (fig. 297 et 298).

Thorax : un peu déprimé; mésonotum brillant, à ponctuation plus petite (degré 3) et densément placée antérieurement, plus forte et profonde postérieurement (degré 4), mieux marquée le long des lignes des notaulices et apicalement, plus petite et plus superficielle ailleurs, les pointillés bien séparés, mais toutefois moins que leur propre diamètre; cette ponctuation est assez semblable à celle de *Ap. wittei*, un peu plus densément placée et peut-être un peu moins forte, mais nette et profonde également; sillon préscutellaire mince, arqué, finement crénelé; disque du scutellum à faible convexité, apex faiblement arrondi plutôt que tronqué, à largeur apicale moitié de la largeur basale, brillant et portant quelques pointillés très superficiels à la base et le long des bords latéraux, qui sont droits; méso- et métapleures lisses et brillants, cochléar faiblement marqué; suture méso-métapleurale crénelée et sillon métapleural lisse; propodeum brillant, distinctement mais superficiellement ponctué basalement aux costules, lisse ou marqué d'une ou deux carènes transversales apicalement aux costules, lisse dans l'aréole; celle-ci petite, tronquée à l'apex, souvent divisée par une carène transversale faible à hauteur des costules, carènes apicales pas ou à peine divergentes et environ égales à la largeur apicale, carènes basales faibles, mal marquées, un peu rugueuses, se rejoignant au milieu vers le tiers basal du propodeum d'où elles sont réunies à la base de celui-ci par une ligne rugueuse simulant une carène ou occasionnellement une carène faible; costules faibles, obliques postéro-antérieurement, situées près du tiers apical du propodeum (fig. 293).

Ailes : 1^{re} abcisse de la radiale un peu plus courte que la largeur du stigma, égale ou légèrement plus courte que la transverso-cubitale, ces nervures ne formant pas un angle très marqué entre elles, la 2^e plus épaisse et plus droite que la 1^{re}; partie apicale de la 1^{re} abcisse de la cubitale et partie pigmentée de la 2^e abcisse de même longueur et de moitié moins longues que la transverso-cubitale, récurrente un peu moins longue que cette dernière, égale à la largeur du stigma; métacarpe plus long que le stigma (fig. 294).

Pattes III : hanches brillantes, portant d'imperceptibles pointillés, virtuellement lisses, dépourvues de facette plane en dessus à la base, ou, cette facette à peine esquissée. Proportions : hanches, 15/30; fémurs, 11/42; tibias, 8/54; tarses : I, 25; II, 12; III, 8; IV, 7; V, 8; le plus long éperon des tibias la 1/2 et le plus court le 1/3 de la longueur des métatarses.

Abdomen (fig. 295) : tergite I légèrement excavé à la base au milieu, un peu proéminent juste avant le milieu et faiblement courbé, lisse et brillant latéralement à la base, finement rugueux ailleurs, un peu plus grossièrement dans la moitié apicale, l'apex portant une petite aire médiane lisse

et brillante; sa longueur médiane 2 fois sa largeur apicale, 1,57 fois sa largeur basale et 1,46 fois ses plus grandes largeurs situées près de la base et au tiers apical (22 : 11 : 14 : 15 : 15), l'apex présente de chaque côté une petite expansion qui le fait paraître aussi large que la base; bords latéraux légèrement sinueux jusqu'au tiers apical, convergents faiblement ensuite jusqu'à l'apex tronqué dont les angles sont un peu arrondis; tergite II en

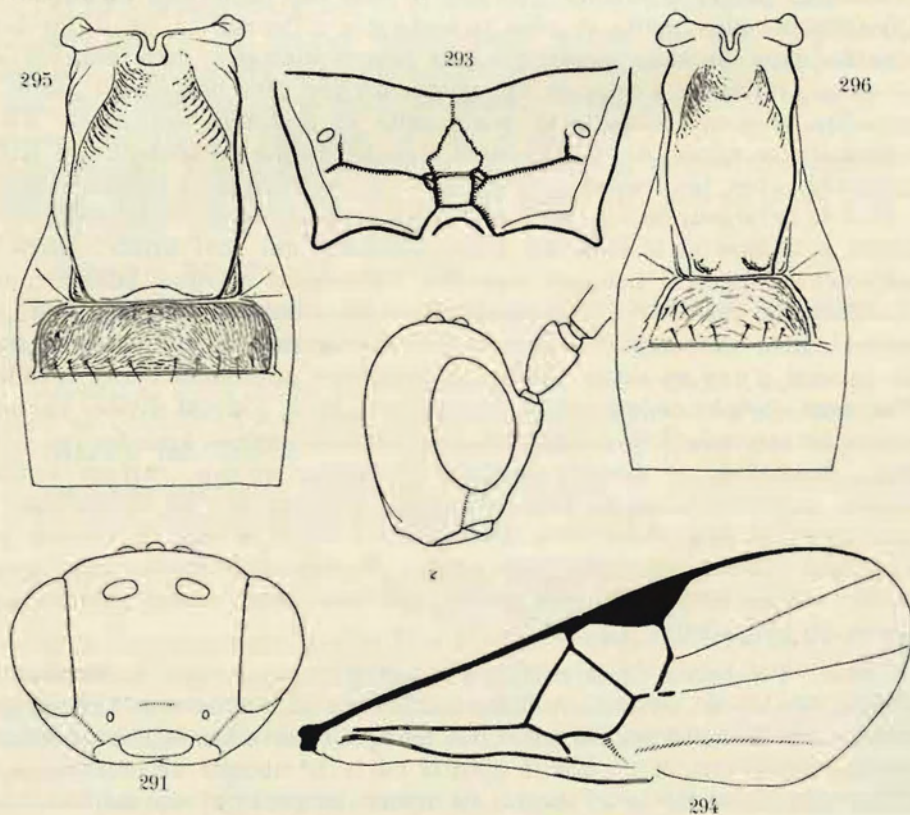


FIG. 291-296. — *Apanteles petlops* sp. n.

FIG. 291. — Tête, vue de face. FIG. 292. — Tête, vue de profil.

FIG. 293. — Schéma de l'aréolation du propodeum. FIG. 294. — Aile antérieure.

FIG. 295. — Détail des trois premiers tergites abdominaux de la ♀.

FIG. 296. — Idem du ♂.

rectangle transversal, brillant et finement aciculé, portant une rangée de petits pointillés près de l'apex, sillons latéraux faiblement marqués partant de l'angle des expansions latérales du tergite I, courbés dans les angles antérieurs, parallèles ensuite; longueur médiane du tergite 1,83 fois plus courte que la largeur apicale du I et 3,33 fois plus courte que sa propre largeur (6 : 11 : 20); 2^e suture mince et droite; tergite III, 1,66 fois plus long que le II (10 : 6), brillant et lisse, sauf l'habituelle petite ponctuation loca-

lisée dans les 3/4 apicaux; hypopygium un peu membraneux médialement à la face inférieure, la membrane se continue en une pointe aiguë à l'apex; valves de la tarière courbées et élargies distalement, égales à la longueur des tibias III (fig. 299 et 300).

♂ : semblable à la description de la ♀, excepté les caractères suivants : tergite I plus étroit et distinctement plus large à la base qu'au sommet, sa longueur médiane 2,85 fois sa largeur apicale, 1,8 fois sa largeur basale et 1,66 fois sa plus grande largeur située près de la base, ses bords latéraux

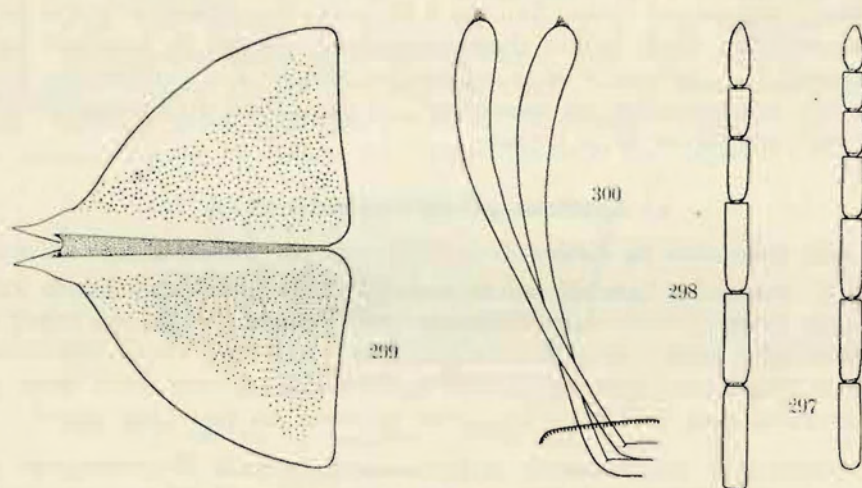


FIG. 297-300. — *Apanteles petops* sp. n.

FIG. 297. — Sommet de l'antenne ♀. FIG. 298. — Sommet de l'antenne ♂.
FIG. 299. — Hypopygium, ouvert. FIG. 300. — Valves de la tarière.

sinueux comme chez la ♀, les angles apicaux ne sont pas arrondis et les expansions latérales à l'apex sont moins apparentes, proéminence médiane petite; tergite II plus faiblement aciculé que chez la ♀, presque lisse, sa longueur médiane un peu plus courte que la largeur apicale du I et 2,33 fois plus courte que sa propre largeur apicale (6 : 7 : 14); ce tergite n'a donc pas la même apparence que celui de la ♀, sillons latéraux droits ou faiblement incurvés et légèrement divergents de la base à la 2^e suture (fig. 296); tergite III, 1,83 fois plus long que le II (11 : 6).

Longueur : 2,7 à 3 mm.

DISTRIBUTION GÉOGRAPHIQUE: vers Rweru, volcan Mikeno, forêt de Bambous (alt. 2.400 m., 26-27.VII.1934), holotype ♀, allotype ♂ et paratypes; Nyabirehe, pied du volcan Karisimbi, Ruanda (alt. 2.000 m., 22.II.1935); Kabare, volcan Mikeno (alt. 3.200 m., 15-16.VII.1934); lac Gando, pied du volcan Karisimbi, Ruanda (alt. 2.400 m., 8.III.1935); mont Sesero, près de Bitashimwa, forêt de Bambous (alt. 2.000 m., 1-2.VII.1934); Shamuhu, volcan

Nyamuragira (alt. 1.843 m., 14-26.VI.1935); Tshamugussa, Bweza, forêt de Bambous (alt. 2.250 m., 10.VIII.1934); lac Kanyamenoni, vers le volcan Musule (alt. 2.300 m., 14.VIII.1934); mont Tamira, près du lac Gando, Ruanda (alt. 2.600 m., 11.III.1935); Gitebe, volcan Nyamuragira (alt. 2.324 m., 14-26.VI.1935); Mubiliba, volcan Nyamuragira (alt. 2.000 m., 14-26.VI.1935); 62 exemplaires : 44 ♂♂, 18 ♀♀.

AFFINITÉS : Soit qu'elle soit considérée comme ayant des scapes rouge testacé ou noirs, cette espèce correspond, dans la clef de WILKINSON, à l'espèce javanaise *Ap. caniae* WILKN., à laquelle elle s'apparente par la forme et la sculpture du 2^e tergite abdominal, ainsi que par la longueur de la 1^{re} abcsse de la radiale et de la transverso-cubitale; elle s'en éloigne, toutefois, par la ponctuation du mésonotum, la carénation du propodeum et la longueur des valves de la tarière.

a) **Apanteles pelops nigricoxis** ab. n.

Cette aberration ne diffère de l'espèce que par les caractères suivants :

♂ ♀ : toutes les hanches noires (sauf l'extrême apex), une bande longitudinale sombre sur la face supérieure des fémurs I et II; enfumure des tibias III plus forte et plus étendue, atteignant parfois le tiers basal; costale à peine plus claire dans les 2/3 basilaires; stigma opaque, brun ainsi que les nervures sous le stigma, les autres nervures un peu plus claires.

DISTRIBUTION GÉOGRAPHIQUE : Shamuheru, volcan Nyamuragira (alt. 1.843 m., 15.VI.1935), holotype ♀; idem (14-26.VI.1935); Nyabirche, volcan Nyamuragira (alt. 2.000 m., 14-26.VI.1935); Burunga, Mokoto (alt. 2.000 m., 15-16.VII.1935), allotype ♂; vers Rweru, volcan Mikeno, forêt de Bambous (alt. 2.400 m., 26.VII.1934); Nyongera, près de Rutshuru (alt. 1.218 m., 17.VII.1935); 6 exemplaires : 2 ♂♂, 4 ♀♀.

113. — **Apanteles xanthophilis** sp. n.

(Fig. 301-305.)

♂ ♀ : noirs; palpes, tegulae, sclérites axillaires, pattes I et II entièrement (sauf l'article apical des tarses qui est enfumé), apex des hanches (♀), extrême apex (♂), trochanters, trochantelles, fémurs (sauf une légère enfumure apicale), tibias (sauf une enfumure apicale, parfois plus sombre et plus étendue chez le ♂) et base des métatarses des pattes III, bords latéraux membraneux des tergites I, II, III, parfois le bord apical du III chez la ♀, sternites de la base, hypopygium en tout ou en partie, costale près de la base, jaune-rouge testacé; scapes rougeâtres à la base chez la ♀; tarses III ailleurs, brun sombre; éperons des tibias III pâles; ailes très légèrement enfumées entièrement; stigma opaque, brun ainsi que les nervures.

♀. *Tête* : transverse (vue de dessus) 2 fois plus large que longue; ligne faciale plus courte que la transfaciale; face brillante, à petite ponctuation

(degré 1) superficielle, faiblement convexe et ornée d'une courbe médiane à la partie supérieure; clypeus non différencié de la face; ostioles faciales plus près de l'apex du clypeus que des yeux; vertex lisse et brillant; occiput ponctué comme la face; ocelles postérieurs beaucoup plus près l'un de l'autre que des yeux; antennes de la longueur du corps plus une fois l'abdomen, 1^{er} article du flagellum 3,5 fois plus long que large (♀) (14 : 4), 3 fois plus long que large (♂) (15 : 5), l'article préapical, le plus court, 2 fois plus long que large (♀) (fig. 302-303).

Thorax : mésonotum très brillant, à ponctuation (degré 3) ronde et bien séparée, plus forte le long des lignes des notaulices, plus faible et assez superficielle ailleurs; sillon préscutellaire étroit, mais bien marqué, arqué et petitement crénelé; disque du scutellum à faible convexité, très brillant, portant quelques petits pointillés très épars; mésopleures lisses et brillants, sauf une ponctuation antérieure assez superficielle et bien séparée, protubé-

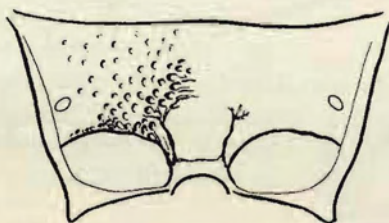


FIG. 301. — *Apanteles xanthophilis* sp. n.,
schéma de la carénation du propodeum.

rance humérale presque lisse, cochléar à peine apparent; suture méso-méta-pleurale finement crénelée; méta-pleures lisses et brillants, à sillon médian lisse; propodeum brillant, à ponctuation très superficielle à la base, presque lisse, progressivement plus forte vers les costules, à fines soies longues, axipètes, à peu près lisse apicalement aux costules qui sont faibles, arquées vers l'avant et partant de la base de l'aréole, parfois très peu distinctes; aréole tronquée à l'apex et délimitée apicalement par des carènes plus faibles que les costules, un peu divergentes, se ramifiant et se perdant dans la ponctuation vers le milieu du propodeum, basalement marqué par une rugosité entremêlée d'une forte ponctuation (fig. 301).

Ailes : 1^{re} abcisse de la radiale un peu plus longue que la largeur du stigma et environ 1/4 plus longue que la transverso-cubitale, ces deux nervures régulièrement incurvées, leur point de jonction à peine discernable; partie apicale de la 1^{re} abcisse de la cubitale et partie pigmentée de la 2^e abcisse égales et à peine plus longues que la moitié de la transverso-cubitale qui, elle-même, est un peu plus longue que la récurrente; stigma beaucoup plus court que le métacarpe (fig. 304). Ailes plus amples chez la ♀ que chez le ♂.

Pattes III : hanches brillantes, longues (atteignant l'apex du tergite III), marquées de quelques forts pointillés sur la facette plane en dessus à la base, lisses ailleurs. Proportions : hanches, 18/38; fémurs, 13/50; tibias, 8/56; tarses : I, 30; II, 12; III, 11; IV, 8; V, 10; le plus long éperon des tibias la moitié et le plus court le tiers de la longueur des métatarses.

Abdomen (fig. 305) : tergite I excavé à la base, faiblement proéminent et courbé entre le tiers basal et la moitié, à faible convexité dans la moitié apicale où il est légèrement déprimé médialement, striolé longitudinalement

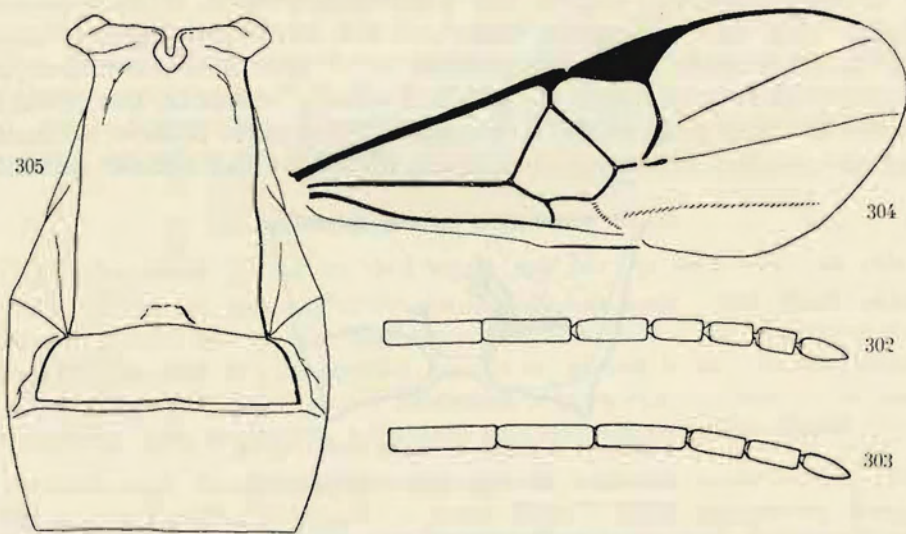


FIG. 302-305. — *Apanteles xanthopholis* sp. n.

FIG. 302. — Sommet de l'antenne ♀. FIG. 303. — Sommet de l'antenne ♂.

FIG. 304. — Détail de la nervation de l'aile antérieure.

FIG. 305. — Détail des trois premiers tergites abdominaux.

dans le tiers basal, rugoso-punctué ailleurs, sa longueur médiane 1,4 fois sa largeur apicale et 1,7 fois sa largeur basale (24 : 17 : 14), ses bords latéraux droits et légèrement divergents de la base à l'apex, celui-ci faiblement émarginé et à angles aigus; tergite II fortement chitinisé, légèrement proéminent médialement, sculpté un peu comme l'apex du I mais plus faiblement, ses sillons latéraux partant des angles apicaux du I, légèrement incurvés à la base et un peu divergents, sa longueur médiane 2,63 fois plus courte que la largeur apicale du I et 3,83 fois plus courte que sa propre largeur apicale (6 : 17 : 23); 2^e suture forte, droite ou un peu arquée, parfois crénelée; tergite III, 1,66 fois plus long que le II (10 : 6), lisse, satiné ou brillant, à petite ponctuation habituelle; hypopygium non membraneux à la partie inférieure ou faiblement vers l'apex, à prolongement apical très aigu; valves de la tarière de la longueur des tibias III, peu élargies distalement.

♂ : semblable aux caractères décrits de la ♀, excepté les suivants : longueur médiane du tergite I, 1,57 fois sa largeur apicale et 1,8 fois sa largeur basale (22 : 14 : 12), ses bords latéraux subparallèles; longueur médiane du tergite II, 1,75 fois plus courte que la largeur apicale du I, 2,25 fois plus courte que sa propre largeur apicale et 1,37 fois plus courte que la longueur médiane du III (8 : 14 : 18 : 11), ce tergite est, par suite, beaucoup moins transverse que chez la ♀ et ses sillons latéraux sont plus longs.

Longueur : 2,5 à 3 mm. Longueur de l'aile du ♂, 3,5 mm., de la ♀, 4 mm.

DISTRIBUTION GÉOGRAPHIQUE : Tshamugussa, Bweza, forêt de Bambous (alt. 2.250 m., 10.VIII.1934), holotype ♀, allotype ♂, 1 paratype ♀, 1 paratype ♂; Ngesho (alt. 2.000 m., 3-6.IV.1934); vers Rweru, volcan Mikeno, forêt de Bambous (alt. 2.400 m., 26-27.VII.1934); Ruhengeri, riv. Penge, Ruanda (alt. 1.800-1.825 m., 30-31.VIII.1934); Nyasheke, volcan Nyamuragira (alt. 1.820 m., 14-26.VI.1935); lac Mugunga (alt. 1.500 m., 21.I.1934); Gitebe, volcan Nyamuragira (alt. 2.324 m., 14-26.VI.1935); Burunga, Mokoto (alt. 2.000 m., 15-16.III.1934); lac Gando, au pied du volcan Karisimbi, Ruanda (alt. 2.400 m., 7.III.1935); Kibga, volcan Visoke, Ruanda (alt. 2.400 m., 11.II.1935); Mayumbu, volcan Nyamuragira (alt. 2.100 m., 14-26.VI.1935); mont Tamira, près du lac Gando, Ruanda (alt. 2.600 m., 11.III.1935); 25 exemplaires : 8 ♂♂, 17 ♀♀.

OBSERVATIONS : Chez le spécimen ♀, originaire du lac Mugunga, la ponctuation du mésonotum est nettement plus forte et plus dense, le disque du scutellum est entièrement ponctué (degré 3), à pointillés superficiels mais bien marqués et bien séparés; la sculpture du tergite II est plus faible que celle du I, presque striolée longitudinalement sur les côtés; l'enfumure des tibias III occupe plus de la moitié apicale. Malgré ces divergences, ce spécimen semble bien devoir être rapporté à cette espèce.

AFFINITÉS : Cette espèce se place, dans la clef de WILKINSON, en même temps que l'espèce éthiopienne *Ap. eros* WILKN., dont elle se distingue facilement par la coloration, l'aréolation du propodeum et la longueur des valves de la tarière.

114. — *Apanteles furax* sp. n.

(Fig. 306-309.)

♀ : noire; scapes parfois partiellement, tegulae et sclérites axillaires, pattes I et II (sauf une trace noire à la base des hanches et une légère enfumure apicale des tarsi), extrême apex des hanches, trochanters, trochantelles, fémurs (sauf une enfumure au-dessus à l'apex), tibias (sauf l'apex) des pattes III, rouge testacé; tarsi III, brun sombre; bords latéraux membranés des tergites I et II et sternites de la base, rouge sombre; palpes et épérons des tibias III, pâles; ailes hyalines à très légèrement enfumées entièrement; stigma opaque, brun pâle, nervures un peu plus claires.

♂ : semblable à la description ci-dessus, excepté que la coloration rouge testacé est, en général, plus sombre; tegulae rouge sombre, plus rarement rouge testacé; hanches I et II presque entièrement noires sauf l'apex; fémurs II et III enfumés sur la face supérieure; hanches III entièrement noires ainsi que les trochanters; tibias III enfumés au moins dans la moitié apicale.

♀. *Tête* : ligne faciale plus courte que la transfaciale; face brillante, à ponctuation (degré 2) assez marquée; clypéus faiblement différencié de la face; ostioles faciales plus près de l'apex du clypéus que des yeux, vertex imperceptiblement ponctué; occiput un peu plus fortement ponctué que le vertex; ocelles postérieurs plus près l'un de l'autre que des yeux; antennes effilées distalement, égales à la longueur du corps plus 1 fois la tête (plus 2 fois la tête chez le ♂); 1^{er} article du flagellum 3 fois plus long que large (9 : 3) (2,5 fois chez le ♂) (10 : 4); les trois articles préapicaux subégaux (fig. 306-307).

Thorax : mésonotum très brillant, à ponctuation (degré 3) bien marquée, plus dense antérieurement, espacée et plus superficielle postérieurement, les pointillés séparés, toutefois, par une distance moindre que leur diamètre; sillon préscutellaire faiblement arqué, et distinctement crénelé; disque du scutellum plat, à apex tronqué, brillant, virtuellement lisse, ne portant que quelques pointillés extrêmement petits; mésopleures lisses et brillants, sauf quelques pointillés superficiels dans l'angle huméral, cochléar faiblement marqué; suture méso-métapleurale crénelée; métapleurales lisses et brillants, excepté une ponctuation près du bord coxal, à sillon médian lisse; propodeum sculpté comme *Ap. xanthopholis*, mais les costules, obliques postéro-antérieurement, partent de l'extrémité des carènes apicales et non de la base (fig. 301).

Ailes : 1^{re} abcisse de la radiale un peu plus courte que la largeur du stigma, égale ou un peu plus courte que la transverso-cubitale, ces deux nervures incurvées, leur point de jonction faiblement discernable; partie apicale de la 1^{re} abcisse de la cubitale et partie pigmentée de la 2^e abcisse de même longueur et égales aux 2/3 de la récurrente, elle-même de la longueur de la transverso-cubitale; stigma plus court que le métacarpe (fig. 308).

Pattes III : hanches à très petite ponctuation, virtuellement lisses sur la face externe, marquées de quelques forts pointillés sur la facette plane en dessus à la base. Proportions : hanches, 14/26; fémurs, 10/35; tibias, 6/40; tarsi : I, 20; II, 9; III, 8; IV, 6; V, 7; le plus long éperon des tibias la moitié et le plus court un peu moins de la moitié de la longueur des métatarses.

Abdomen (fig. 309) : tergite I, excavé, lisse et brillant à la base, courbé au milieu, très faiblement proéminent, un peu terne et rugoso-ponctué, à ponctuation forte et profonde ailleurs, sa longueur médiane 1,12 fois sa largeur apicale et 1,8 fois sa largeur basale (18 : 16 : 10), ses bords latéraux droits et divergents de la base à l'apex, celui-ci bisinué, à angles légèrement arrondis; tergite II rugueux mais sans ponctuation comme le I, épousant étroitement

l'apex de celui-ci, ses sillons latéraux horizontaux à la base sur une courte distance, parallèles ensuite, sa longueur médiane 2,66 fois plus courte que la largeur apicale du I et environ 3 fois plus courte que sa propre largeur (6 : 16 : 19); 2^e suture irrégulière, forte et droite; tergite III un tiers plus long que la longueur médiane du II, brillant et lisse, sauf une rangée de petits pointillés au tiers apical; hypopygium aigu, non membraneux; valves de la tarière de la longueur des tibias III.

♂ : semblable à la description de la ♀, excepté les caractères suivants : face plus petitement et plus confusément ponctuée; disque du scutellum souvent plus distinctement ponctué; propodeum parfois plus ruguleux ou

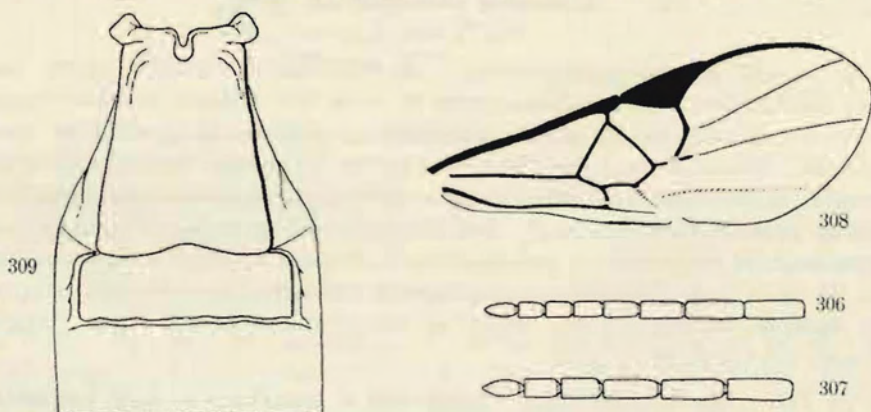


FIG. 306-309. — *Apanteles furax* sp. n.

FIG. 306. — Sommet de l'antenne ♀. FIG. 307. — Sommet de l'antenne ♂.

FIG. 308. — Détail de la nervation de l'aile antérieure.

FIG. 309. — Détail des trois premiers tergites abdominaux.

plus lisse, un peu déprimé au milieu dans la moitié basale; tergite I à bords latéraux plus parallèles, apex moins fortement bisinué et à angles un peu saillants extérieurement; sillons latéraux du tergite II parfois un peu obliques, divergents.

Longueur : 2,2 mm.

DISTRIBUTION GÉOGRAPHIQUE : Kalondo, lac Ndaraga, Mokoto (alt. 1.750 m., 22-27.III.1934), holotype ♀, allotype ♂ et paratypes; Gitebe, volcan Nyamuragira (alt. 2.324 m., 14-26.VI.1935); lac Gando, volcan Karisimbi, Ruanda (alt. 2.400 m., 28-29.VI.1934); Nyarusambo, Kikere (alt. 2.226 m., 28-29.VI.1934); Ruhengeri, riv. Penge, Ruanda (alt. 1.800-1.825 m., 30-31.VIII.1934); 22 exemplaires : 16 ♂♂, 6 ♀♀.

AFFINITÉS : Cette espèce se place, dans la clef de WILKINSON, en même temps que l'espèce éthiopienne *Ap. hylas* WILKN. avec laquelle elle présente certainement une grande affinité. Ces deux espèces peuvent être séparées principalement par la forme de l'aréole, toujours ouverte basalement chez

Ap. furax, l'absence chez celui-ci d'une éclaircie dans l'angle proximal du stigma, une ponctuation du mésonotum moins serrée, la partie apicale de la 1^{re} abcisse de la cubitale n'atteignant jamais deux fois la longueur de la 2^e abcisse et les valves de la tarière plus longues que les deux articles basilaire des tarsi postérieurs.

Très semblable également à *Ap. xanthopholis*, *Ap. furax* s'en différencie, premièrement par une taille plus petite, ensuite par l'emplacement des costules et par le parallélisme des sillons du 2^e tergite abdominal.

115. — ***Apanteles arundinariae* sp. n.**

(Fig. 310-314.)

♂ ♀ : noirs; palpes, pattes I (sauf les hanches et l'article apical des tarsi), trochanters, trochantelles, base et apex des fémurs et tibiai (plus sombres au milieu) des pattes II, trochanters, trochantelles, extrême base et apex des fémurs et base des tibiai des pattes III, rouge testacé; tibiai III ailleurs et tarsi II et III, enfumés; ces colorations variables en intensité, beaucoup plus foncées chez le ♂, chez lequel les tibiai et tarsi sont parfois presque noirs et les fémurs I ordinairement sombres au milieu; épérons des tibiai III pâles; ailes hyalines ou légèrement enfumées entièrement; stigma brun, opaque, marqué d'une éclaircie extrêmement faible dans l'angle proximal; nervures brun pâle.

♂ ♀. *Tête* : ligne faciale plus courte que la transfaciale; face brillante, un peu proéminente médialement, à petite ponctuation faible; clypéus non différencié de la face; ostioles faciales beaucoup plus près de l'apex du clypéus que des yeux; vertex satiné et lisse; occiput un peu plus fortement ponctué que la face; ligne oculo-ocellaire plus longue que l'espace entre les ocelles postérieurs; antennes effilées distalement, égales à la longueur du corps plus environ 2 fois la tête; 1^{er} article du flagellum 4 fois plus long que large (♀) (12 : 3); les deux articles préapicaux subégaux, 1,5 fois plus longs que larges (♀), plus de 2 fois (♂) (fig. 311 et 312).

Thorax : mésonotum un peu mat, à ponctuation (degré 3) un peu superficielle, plus profonde et contiguë le long des lignes des notaulices, beaucoup plus forte (degré 4) et bien séparée à l'apex; sillon préscutellaire droit, petitement crénelé; disque du scutellum plus brillant que le mésonotum, déprimé à l'apex, à ponctuation (degré 3) assez bien marquée latéralement, très superficielle sur le disque; mésopleures à ponctuation rugueuse antérieurement, lisses ailleurs; suture méso-métapleurale crénelée; métapleurales lisses antérieurement, rugueux postérieurement, à sillon médian lisse; propodeum petitement rugoso-ponctué et assez mal basalement aux costules, à soies longues, brillant, presque lisse apicalement aux costules et dans l'aréole; carénation bien marquée, aréole tronquée à l'apex, à carènes apicales faiblement divergentes, un peu plus longues que la largeur apicale, carènes basales légèrement incurvées, mais ne se rejoignant pas, interrompues au

tiers basal du propodeum, se continuant, parfois vaguement, jusqu'à la base de celui-ci, base de l'aréole jamais distinctement fermée, costules droites.

Ailes : stigma 2,5 fois plus long que large; 1^{re} abcisse de la radiale un peu plus courte que la largeur du stigma, égale à la transverso-cubitale et formant avec celle-ci un angle faible; partie apicale de la 1^{re} abcisse de la

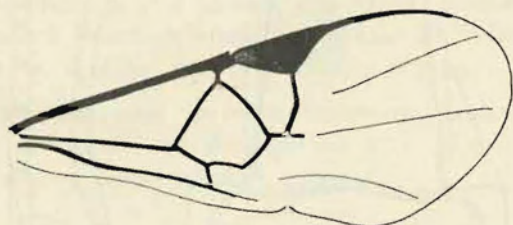


FIG. 310. — *Apanteles arundinariae* sp. n., aile antérieure.

cubitale et partie pigmentée de la 2^e abcisse égales, près de la moitié de la longueur des précédentes et un peu plus longues que le tiers de la récurrente; partie apicale de la 1^{re} abcisse variable, parfois égale à la moitié de la récurrente; stigma plus court que le métacarpe (fig. 310).

Pattes III : hanches satinées, très petitement ponctuées et portant quelques pointillés à peine plus forts en dessus à la base. Proportions : hanches, 16/28; fémurs, 10/41; tibias, 7/50; tarses : I, 24; II, 10; III, 8; IV, 6; V, 9; éperons des tibias subégaux, le plus long égal à la moitié de la longueur des métatarses.

Abdomen (fig. 313) : tergite I légèrement excavé à la base et rugueux, faiblement courbé et très fortement proéminent médialement un peu avant le milieu, finement rugueux sur la proéminence, plus fortement vers l'apex, sa longueur médiane 1,22 fois sa largeur apicale et 1,8 fois sa largeur basale (22 : 18 : 12), ses bords latéraux droits, divergents de la base à l'apex, angles apicaux légèrement saillants et déprimés, apex un peu échancré au milieu; tergite II rugueux, plus faiblement que le I, marqué de vagues stries longitudinales (sculpture parfois très superficielle), sa longueur médiane le tiers de la largeur apicale du I et le quart de sa propre largeur apicale (6 : 18 : 24), sillons latéraux étroits, divergents et faiblement courbés (droits chez le ♂); 2^e suture droite; tergite III, 1,8 fois plus long que le II, brillant et lisse sauf pour l'habituelle petite ponctuation, absente dans un espace médian obtriangulaire à la base; hypopygium non membraneux sur sa ligne médiane à la partie inférieure, à prolongement apical membraneux et aigu; valves de la tarière de la longueur des tibias III (fig. 314).

Longueur : 2,5 à 2,7 mm.

DISTRIBUTION GÉOGRAPHIQUE: vers Rweru, volcan Mikeno, forêt de Bambous (alt. 2.400 m., 3 et 26-27.VII.1934), holotype ♀, allotype ♂ et paratypes:

mont Sesero, près de Bitashimwa, forêt de Bambous (alt. 2.000 m., 1-2.VIII.1934); Kibga, volcan Visoke, Ruanda (alt. 2.400 m., 11.II.1935); 31 exemplaires : 23 ♂♂, 8 ♀♀.

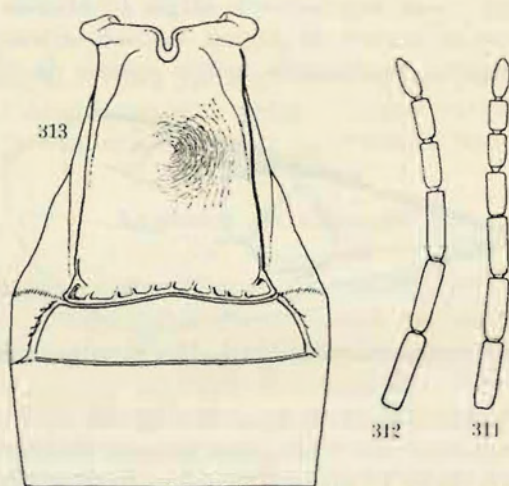


FIG. 311-313. — *Apanteles arundinariae* sp. n.

FIG. 311. — Sommet de l'antenne ♀. FIG. 312. — Sommet de l'antenne ♂.

FIG. 313. — Détail des trois premiers tergites abdominaux.

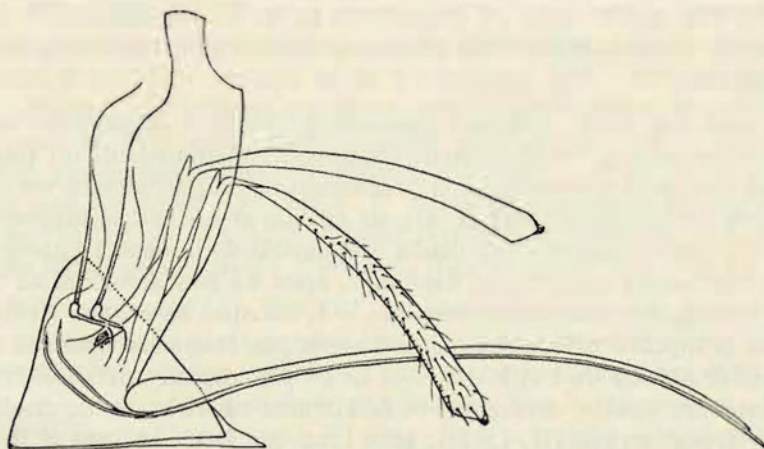


FIG. 314. — *Apanteles arundinariae* sp. n.
hypopygium et genitalia, vus de profil.

AFFINITÉS : Les caractères de cette espèce ne correspondent pas à ceux des espèces figurant dans la clef de WILKINSON, elle s'y placerait près de l'espèce hindoue *Ap. bambusae* WILKN. Par les proportions du tergite II, cette espèce se rapproche de l'espèce congolaise *Ap. eurytergis* DE S., mais elle en diffère notablement par d'autres caractères.

116. — *Apanteles sylvaticus* sp. n.

(Fig. 315-317.)

Espèce très semblable à *Ap. arundinariae*, dont elle se différencie par les caractères suivants :

♀. *Coloration* : pattes I depuis le tiers basal des fémurs, pattes II faiblement à l'apex des fémurs et à la base des tibias, pattes III, à la base des tibias, rouge testacé foncé; éclaircie proximale du stigma plus distincte, nervation décolorée, sauf les nervures sous le stigma.

♀. *Ailes* : nervation assez variable; transverso-cubitale plus courte que la 1^{re} abcisse de la radiale, formant parfois avec celle-ci une ligne courbe, sans point de jonction discernable.

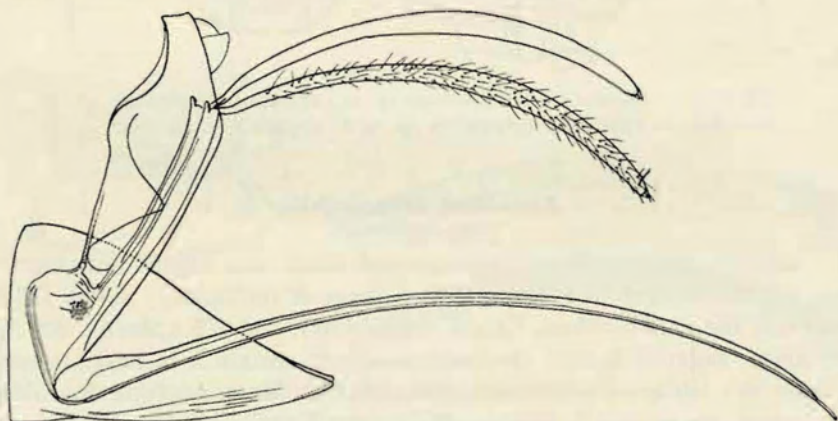


FIG. 315. — *Apanteles sylvaticus* sp. n.,
hypopygium et genitalia, vus de profil.

Pattes III : facette plane en dessus à la base des hanches III bien marquée et portant quelques forts pointillés rapprochés.

Abdomen : hypopygium membraneux sur sa ligne médiane à la face inférieure, à apex membraneux, aigu et fendu; valves de la tarière de la longueur des tarsi III (fig. 315).

♂ : trois exemplaires ♂♂, originaires du mont Sesero et portant le même numéro de capture (505) que les ♀♀ citées ci-dessous, ont une morphologie externe absolument semblable à celle du ♂ de *Ap. arundinariae*. Des préparations de genitalia permettent de constater une différence dans la structure de l'appareil copulateur (fig. 316 et 317). Toutefois, la grande similitude de ces spécimens ne doit faire admettre ces ♂♂ qu'avec réserve, comme appartenant à l'espèce *sylvaticus*. Seul l'élevage de ces *Apanteles* permettra d'éclaircir cette question.

Longueur : 2,8 mm.

DISTRIBUTION GÉOGRAPHIQUE : Ruhengeri, sources Kirii, Ruanda (alt. 1.800-1.825 m., 3.X.1934), holotype ♀; mont Sesero, près de Bitashimwa, forêt de Bambous (alt. 2.000 m., 1-2 et 2-3.VIII.1934), 3 ♂♂, 3 ♀♀; Ruhengeri, riv. Penge, Ruanda (alt. 1.800-1.825 m., 29.IX.1934); Nyabirehe, volcan Kari-simbi, Ruanda (alt. 2.000 m., 22.II.1935); Munagana, vers Gahinga-Sabinyo (alt. 2.200 m., 18.VIII.1934); Tshumba, Mushari (alt. 2.100 m., 23.IV et 1.V.1934): 11 exemplaires : 3 ♂♂; 8 ♀♀.

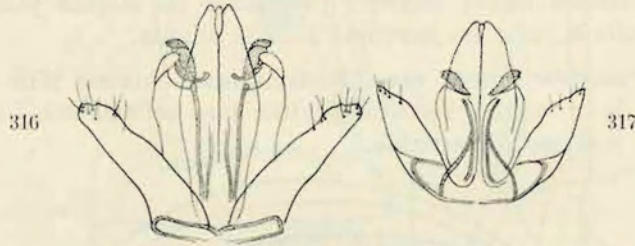


FIG. 316. — *Apanteles arundinariae* sp. n., appareil copulateur ♂.
FIG. 317. — *Apanteles sylvaticus* sp. n. ?, appareil copulateur ♂.

117. — ***Apanteles conspicabilis* sp. n.**

(Fig. 318-320.)

♀ : noire; palpes, pattes I entièrement (sauf une légère enfumure des tarsi), pattes II (sauf le 1/3 apical des tibias et les tarsi), pattes III (sauf la base des hanches parfois, l'apex des fémurs, les 2/5 apicaux des tibias et les tarsi, excepté la base des métatarsi) et costale à la base, rouge testacé; apex des tibias et tarsi des pattes II, brunâtres; éperons des tibias II et III, pâles; les quatre premiers articles du flagellum et la moitié proximale du cinquième ou les cinq premiers et la moitié du sixième, d'un rouge testacé assez semblable à celui des pattes, l'intersection des articles légèrement plus sombre; ailes légèrement enfumées, un peu jaunâtres; stigma opaque, brun, nervures un peu plus claires, décolorées à la base de l'aile.

♀. *Tête* : face un peu plus large que longue, satinée, à petite ponctuation (degré 1), faible, régulière et assez dense; clypéus bien différencié de la face; ostioles faciales placées à égale distance entre les yeux et l'apex du clypéus; vertex imperceptiblement ponctué; occiput ponctué comme la face; espace oculo-ocellaire un peu plus grand que la distance séparant les ocelles postérieurs; antennes de la longueur du corps; 1^{er} article du flagellum environ 3,5 fois plus long que large, les six articles préapicaux subégaux deux à deux (fig. 318).

Thorax : mésonotum satiné, à ponctuation (degré 3) peu marquée, les pointillés espacés en moyenne par une distance égale à leur propre diamètre, plus denses sur une ligne longitudinale médiane antérieure, ainsi que le long des lignes des notaulices et accompagnés d'une aciculation à l'apex de ces derniers; sillon préscutellaire droit, assez large, irrégulièrement

punctuées. Proportions : hanches, 20/32; fémurs, 11/45; tibias, 8/56; tarses : I, 28; II, 12; III, 0; IV, 7; V, 10; le plus long éperon des tibias la 1/2 et le plus court le 1/3 de la longueur des métatarses.

Abdomen (fig. 320) : tergite I brillant, excavé médialement à la base, fortement proéminent au milieu et faiblement courbé, striolé à la base, rugoso-punctué à subréticulé ailleurs, marqué dans la moitié apicale d'une aire longitudinale médiane plus lisse et bordée de carènes un peu plus fortes; longueur médiane du tergite, 2 fois sa largeur apicale, 1,36 fois sa largeur basale et 1,6 fois sa plus grande largeur située au delà du tiers apical (26 : 13 : 11 : 16), ses bords latéraux un peu sinueux et divergents jusqu'à la plus grande largeur, ensuite convergents vers l'apex émarginé au milieu, angles apicaux à peine arrondis; tergite II un peu convexe, à sculpture très petite, finement rugueuse, presque chagrinée, ses sillons latéraux droits et divergents, sa longueur médiane 1,85 fois la largeur apicale du I et 2,85 fois sa propre largeur apicale (7 : 13 : 20), un peu plus large à la base que l'apex du I; 2^e suture légèrement arquée vers l'arrière, fine et bien marquée; longueur médiane du tergite III, 1,43 fois celle du II, ce tergite ainsi que les suivants, brillants, à petite ponctuation apicale; hypopygium membraneux à apex en biseau et fendu; valves de la tarière plus longues que les fémurs, plus courtes que les tibias, environ de la longueur des trois premiers articles des tarses III.

Longueur : 3 mm.; ♂, inconnu.

DISTRIBUTION GÉOGRAPHIQUE : Rutshuru (alt. 1.285 m., 11.VII.1935), holotype ♀; Ruhengeri, riv. Penge, Ruanda (alt. 1.800-1.825 m., 4-5.X.1934); Ruhengeri, sources Kirii, Ruanda (alt. 1.800-1.825 m., 31.VIII.1934); 10 exemplaires.

AFFINITÉS : Cette espèce se caractérise par la coloration de la base du flagellum. Les espèces connues ayant les antennes bicolores, telles *Ap. annulicornis* ASHM. et *Ap. taeniaticornis* WILKN., présentent une disposition différente de la teinte claire de cet organe, comme chez *Microgaster Laurae*. C'est la première espèce éthiopienne présentant ce caractère.

Sous-groupe COXALIS.

Mésnotum rugueux et habituellement strié le long des lignes des notaulices à l'apex; disque du scutellum lisse ou faiblement punctué; aréole du propodeum en forme de U ou de V à l'apex, jamais tronquée, fermée à la base ou non par une carène transverso-basale, mais jamais par ses propres carènes basales qui se continuent toujours parallèlement jusqu'à la base du propodeum, de chaque côté d'une aire généralement déprimée ou excavée; 1^{re} abcisse de la radiale distinctement plus longue que la transverso-cubitale; hanches postérieures plus ou moins fortement rugueuses, parfois striées;

2° tergite abdominal fortement chitinisé, à sculpture forte, rugueuse, parfois striée, ses sillons latéraux jamais très fortement divergents et ordinairement droits.

118. — **Apanteles langerburgensis** SZÉPLIGETI.

Apanteles langerburgensis SZÉPLIGETI, Wiss. Ergebn. Deutsch. Z. Africa Exp., III, 1911, p. 412, ♂ ♀; WILKINSON, Trans. Entom. Soc. Lond., LXXX, 1932, p. 317.

DISTRIBUTION GÉOGRAPHIQUE : Tanganyika Territory; collection DE WITTE : Munagana, vers Gahinga-Sabinyo (alt. 2.200 m., 18.VIII.1934); Nzulu, Sake (alt. 1.500 m., 14.II.1934); Ruhengeri, sources Kirii, Ruanda (alt. 1.800-1.825 m., 31.VIII.1934, 1 et 3.X.1934); Nzulu, lac Kivu (alt. 1.500 m., 31.I.1934); Kibga, volcan Visoke, Ruanda (alt. 2.400 m., 11.II.1935); Rutshuru (alt. 1.285 m., 23-30.XII.1933, 2 et 4.VII.1935); Burambi, volcan Muhavura, Ruanda (alt. 2.325 m., 5.IX.1934); Ruhengeri, riv. Penge, Ruanda (alt. 1.800-1.825 m., 29.IX.1934); Kalondo, lac Ndaraga, Mokoto (alt. 1.750 m., 22-27.III.1934); Rutshuru, riv. Musugereza (alt. 1.400 m., 10.VII.1935); lac Gando, pied volcan Karisimbi, Ruanda (alt. 2.400 m., 8.III.1935); Shamuheru, volcan Nyamuragira (alt. 1.820 m., 14-26.VI.1935); Rwindi (alt. 1.400 m., 20-24.XI.1934); Rutshuru, riv. Kanzarue (alt. 1.200 m., 16.VII.1935); Sake, lac Kivu (alt. 1.460 m., 19-22.II.1934); 34 exemplaires : 16 ♂♂, 18 ♀♀.

Hôte et cocon, inconnus

119. — **Apanteles fontinalis** sp. n.

(Fig. 321-327.)

♀ : noire; palpes (sauf l'article basal des palpes maxillaires), trochanters, trochantelles, apex des fémurs sur une longueur variable, tibias et éperons des pattes I, trochanters, trochantelles, extrême apex des fémurs en dessous et moitié basale des tibias des pattes II, trochanters, trochantelles, parfois l'extrême base des fémurs, environ la moitié basale des tibias et base des métatarses des pattes III, bords latéraux membraneux des tergites I et II et parfois l'apex du III, sternites de la base, rouge testacé; tarsi I et II, bruns, s'assombrissant distalement; tarsi III brun noirâtre; éperons des tibias I et II, pâles; ailes enfumées légèrement et entièrement, à soies colorées; stigma brun, opaque; nervures brunes à peine plus claires que le stigma.

♂ : semblable à la ♀; les colorations testacées généralement plus sombres, trochanters et trochantelles noirs.

♂ ♀. *Tête* : tête légèrement allongée (fig. 321); face à peu près aussi large que longue, brillante, à petite ponctuation (degré 1) régulière; clypéus différencié de la face seulement par sa convexité; ostioles faciales à égale distance des yeux et de l'apex du clypéus; espace oculo-malaire égal à la moitié de la plus grande largeur des yeux; vertex brillant, à ponctuation extrêmement petite; occiput satiné, petitement ponctué, plus densément que la face; espace

oculo-ocellaire égal à la distance séparant les ocelles postérieurs; antennes de la longueur du corps, épaissies distalement (♀), un peu plus longues que le corps et amincies distalement (♂); 1^{er} article du flagellum 4 fois plus long que large (15 : 3,5) chez la ♀, 3 fois chez le ♂ (15 : 5), les quatre articles pré-apicaux, chez la ♀, environ aussi larges que longs (fig. 322 et 323).

Thorax : mésonotum assez mat, à ponctuation (degré 3-4), profonde, irrégulière, coalescente le long des lignes des notaulices et d'une ligne longitudinale médiane, qui s'achèvent au sommet par une aciculation plus ou moins fortement marquée, accompagnée d'une petite impression secondaire peu apparente; sillon préscutellaire assez large, droit et divisé par 5 ou 6 carènes; disque du scutellum convexe, brillant, dépourvu de ponctuation, sauf quelques pointillés vagues et superficiels près des bords latéraux; mésopleures ponctués-réticulés dans la partie antérieure, lisses ailleurs, sauf une faible sculpture près du bord coxal et de fines stries dans le cochléar; métapleures lisses antérieurement, ponctués-réticulés postérieurement; propodeum marqué d'une grande aréole excavée, brillante et presque lisse, en forme de U à l'apex, à carènes fortes, les basales plus courtes que les apicales, fermée, au tiers basal environ, par une carène transversale plus faible; les carènes basales de l'aréole se continuent jusqu'à la base du propodeum de chaque côté d'une dépression médiane moins forte que celle de l'aréole; costules horizontales, courtes, aussi fortes que les carènes aréolaires; tégument du propodeum vaguement ruguleux avec quelques carènes irrégulières dans la moitié basale, moins, mais plus régulièrement caréné et plus brillant dans la moitié apicale.

Ailes : 1^{re} abcisse de la radiale égale à la largeur du stigma, près d'un tiers plus longue que la transverso-cubitale et formant avec celle-ci un angle faible, leur point de jonction bien marqué; la partie apicale de la 1^{re} abcisse de la cubitale égale aux 3/4 de la 1^{re} abcisse de la radiale et un peu plus courte que la récurrente; stigma plus court que le métacarpe (fig. 324).

Pattes III : hanches assez mates, rugoso-ponctuées à la base en dessus, aciculées dans la partie supérieure de la face externe et à l'apex, finement ponctuées et brillantes en dessous; fémurs brillants à petite ponctuation peu densément placée. Proportions : hanches, 23/38; fémurs, 14/52; tibias, 10/62; tarses : I, 34; II, 13; III, 10; IV, 8; V, 11; le plus long éperon des tibias la moitié et le plus court environ le tiers de la longueur des métatarses; onychiums bien développés.

Abdomen (fig. 325) : tergite I, excavé, brillant et faiblement sculpté dans le tiers basal, fortement proéminent au milieu dans le tiers médian, légèrement convexe dans le tiers apical, un peu mat et réticulé depuis le tiers basal, marqué dans le tiers apical d'une aire médiane étroite, moins fortement sculptée, bordée de carènes longitudinales et pourvu d'une petite aire lisse et brillante, peu en relief, à l'apex; longueur médiane du tergite I environ 2,5 fois la largeur apicale, qui est à peine plus grande que la largeur

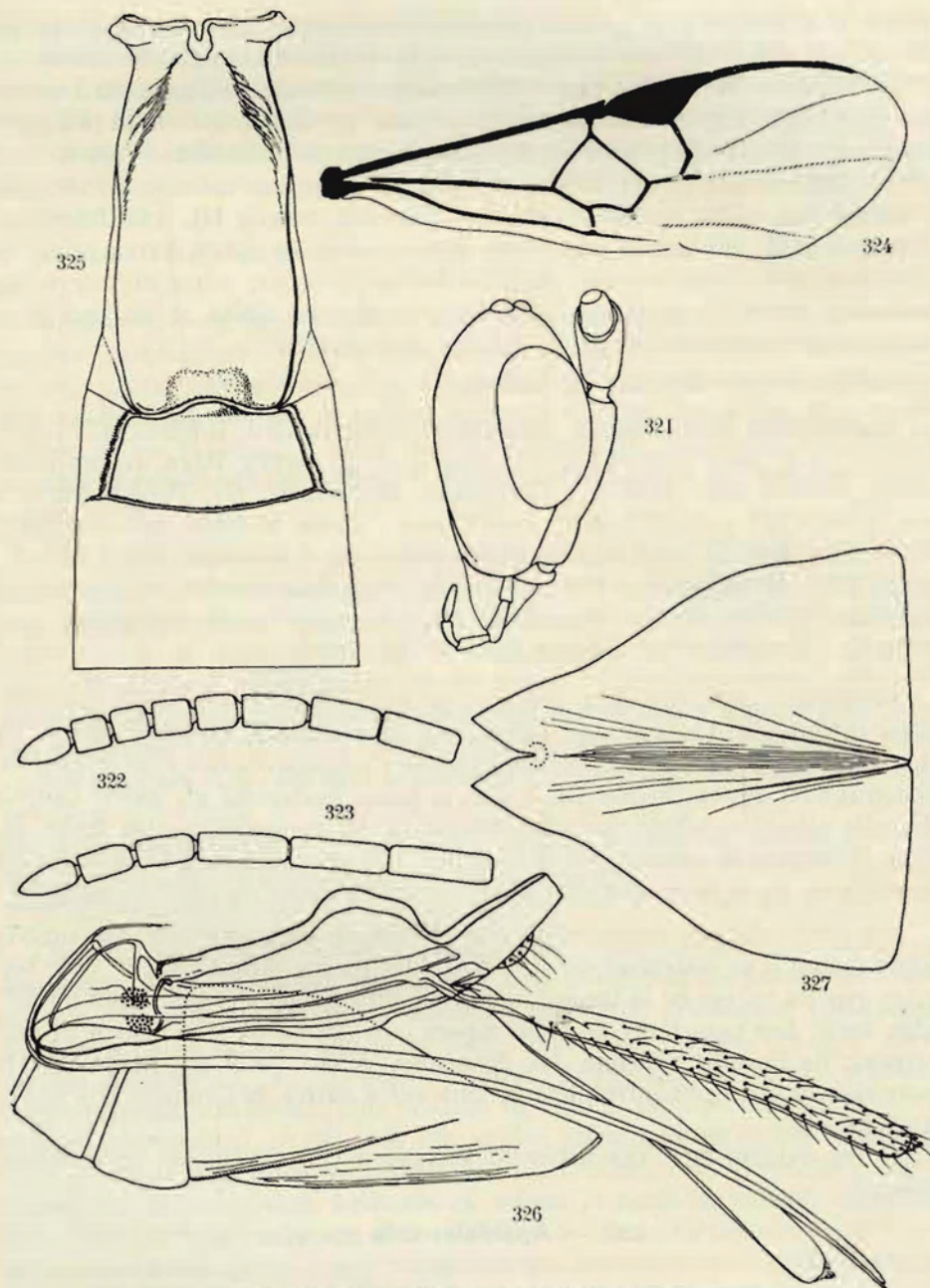


Fig. 321-327. — *Apanteles fontinalis* sp. n.

Fig. 321. — Tête, vue de profil.

Fig. 322. — Sommet de l'antenne ♀. Fig. 323. — Sommet de l'antenne ♂.

Fig. 324. — Détail de la nervation de l'aile antérieure.

Fig. 325. — Détail des trois premiers tergites abdominaux.

Fig. 326. — Hypopygium et genitalia, vus de profil.

Fig. 327. — Hypopygium, ouvert.

basale et 2 fois la plus grande largeur située à peu près au tiers apical (32 : 13 : 12 : 16), ses bords latéraux faiblement sinueux, apex échancré, à angles fortement arrondis; tergite II épousant la forme de l'apex du I et un peu plus large, plus brillant au milieu que sur les côtés, ruguleux et ponctué, à sillons latéraux droits et bien marqués, sa longueur médiane 1,44 fois la largeur apicale du I et la moitié de sa propre largeur apicale (9 : 13 : 18), 2^e suture fine et fortement arquée vers l'arrière; tergite III, 1,55 fois plus long que le II, brillant et portant de petits pointillés épars; hypopygium à développement membraneux, aigu et fendu à l'apex, mais dépourvu de foramen; valves de la tarière plus longues que les tibias et un peu plus courtes que les tarsi des pattes III (fig. 326 et 327).

Longueur : ♂, 3,2 mm.; ♀, 3,5 mm.

DISTRIBUTION GÉOGRAPHIQUE : Ruhengeri, sources Kirii, Ruanda (alt. 1.800-1.825 m., 1.X.1934), holotype ♀, allotype ♂ et paratypes; Ilega, volcan Karisimbi, Ruanda (alt. 2.400 m., 12.III.1935); Ruhengeri, riv. Penge, Ruanda (alt. 1.800-1.825 m., 4-5.X.1934); vers Rweru, volcan Mikeno, forêt de Bambous (alt. 2.400 m., 26-27.VII.1934); Kanyabayongo, Kabasha (alt. 1.760 m., 7.XII.1934); Kundhuru ya Tshuve, col Gahinga-Sabinyo, Ruanda, forêt de Bambous (alt. 2.600 m., 15.IX.1934); lac Gando, volcan Karisimbi (alt. 2.400 m., 6.III.1935); 22 exemplaires : 8 ♂♂, 14 ♀♀.

AFFINITÉS : Cette espèce se place au couplet 178 de la clef de WILKINSON, mais diffère de *Ap. syleptae* FERR. par la sculpture du propodeum, de *Ap. langerburgensis* SZÉPL. par les longueurs respectives des 2^e et 3^e tergites abdominaux; de *Ap. brédoi* DE S. qui se place également au même endroit de cette clé, elle diffère par une carénation du propodeum plus forte, les 1^{er} et 2^e tergites de proportions différentes, par une sculpture beaucoup plus caractérisée de ce dernier et par la pigmentation de la nervation alaire.

Ap. fontinalis présente surtout une affinité de structure avec *Ap. coxalis* SZÉPL., dont il se distingue par une sculpture moins carénée des 1^{er} et 2^e tergites, par les valves de la tarière nettement plus longues et une taille un peu plus forte. Les caractères de cette espèce correspondent très bien à la description de l'espèce vitiennaise *Ap. hymeniae* WILKN., elle en diffère par la coloration et quelques autres détails dont, entre autres, la longueur des valves de la tarière.

Il est évident que ces différentes espèces constituent un groupement naturel.

120. — *Apanteles cato* sp. n.

(Fig. 328-332.)

♀ : noire; palpes, pattes I et II entièrement, extrême apex et moitié apicale de la face inférieure des hanches, trochanters, trochantelles, fémurs (sauf une tache apicale, 1/5), tibias (sauf l'apex, 1/6) et base des métatarses des pattes III, tegulae, sclérites axillaires, partie basale de la costale, bords laté-

raux membraneux des tergites I et II parfois et parties latérales du III, plus largement vers l'apex, sternites de la base, partie membraneuse de l'hypopygium, rouge testacé; tarsi III ailleurs, noir brunâtre; éperons des tibia III, pâles; ailes hyalines, légèrement jaunâtres, à soies colorées; stigma brun, opaque, nervures un peu plus claires, incolores à la base de l'aile. La coloration testacée du tergite III est d'intensité variable, quelquefois imperceptible.

♂ : semblable à la description de la ♀, à l'exception des caractères suivants :

Hanches environ dans la moitié apicale et restant des pattes I, apex des hanches, trochanters, trochantelles, extrême base et extrême apex des fémurs, moitié basale des tibia des pattes II, trochanters, trochantelles, extrême base des fémurs et moitié basale des tibia des pattes III, rouge testacé; pattes II ailleurs, brun noirâtre; tarsi III noir brunâtre; bords latéraux membraneux des tergites I et II noirâtres; tergite III toujours entièrement noir.

♂ ♀. *Tête* : environ 2 fois plus large que longue; ligne faciale plus longue que la transfaciale; face satinée, à petite ponctuation (degré 1), assez dense, et portant un tronçon de carène médiane au sommet; clypéus différencié de la face; ostioles faciales un peu plus près des yeux que de l'apex du clypéus; vertex satiné et très finement ponctué; occiput ponctué comme la face, mais moins densément; ocelles postérieurs à peine plus près l'un de l'autre que des yeux; antennes égales à la longueur du corps plus 2 fois la tête chez la ♀, égales à la longueur du corps plus une fois l'abdomen chez le ♂; 1^{er} article du flagellum 3,5 fois plus long que large chez la ♀ (14 : 4) un peu moins de 3 fois chez le ♂ (14 : 5); les quatre articles préapicaux environ 1,5 fois plus longs que larges chez la ♀, les deux articles préapicaux environ 2 fois plus longs que larges chez le ♂ (fig. 328 et 329).

Thorax : mésonotum satiné, à ponctuation (degré 3) assez peu distincte étroitement placée et un peu rugueuse le long des lignes des notaulices ainsi que sur une ligne longitudinale médiane, ces lignes faiblement ponctuées-aciculées à l'apex où elles confluent (celte aciculation est plus marquée chez certains spécimens); sillon préscutellaire, droit, peu profond, crénelé; disque du scutellum satiné, plus brillant au milieu, vaguement et faiblement ponctué latéralement; partie lisse des axillae atteignant au moins la moitié de la longueur du disque du scutellum; mésopleures rugoso-ponctués antérieurement, lisses ailleurs, brillants au milieu et postérieurement, cochléar faiblement marqué; suture méso-métapleurale lisse; métapleurales lisses et brillants antérieurement, mats et rugueux postérieurement, à sillon médian lisse; propodeum faiblement brillant, à stries faibles, aréole en forme de V à l'apex, un peu plus longue que large, à carènes de force moyenne, les carènes apicales un peu plus de 2 fois plus longues que les basales; l'aréole n'est pas distinctement fermée par une carène transversale à la base, les carènes

basales se continuant parallèlement jusqu'à la base du propodeum; tégument dans l'aréole plus brillant, costules un peu moins fortes que les carènes de l'aréole, droites ou légèrement obliques (fig. 330).

Ailes (fig. 331) : 1^{re} abcisse de la radiale 1,25 fois plus longue que la largeur du stigma, légèrement incurvée, 3 fois plus longue que la transverso-cubitale et ne formant qu'un angle très faible avec cette dernière, qui est à peine plus longue que la partie pigmentée de la 2^e abcisse de la cubitale; par-

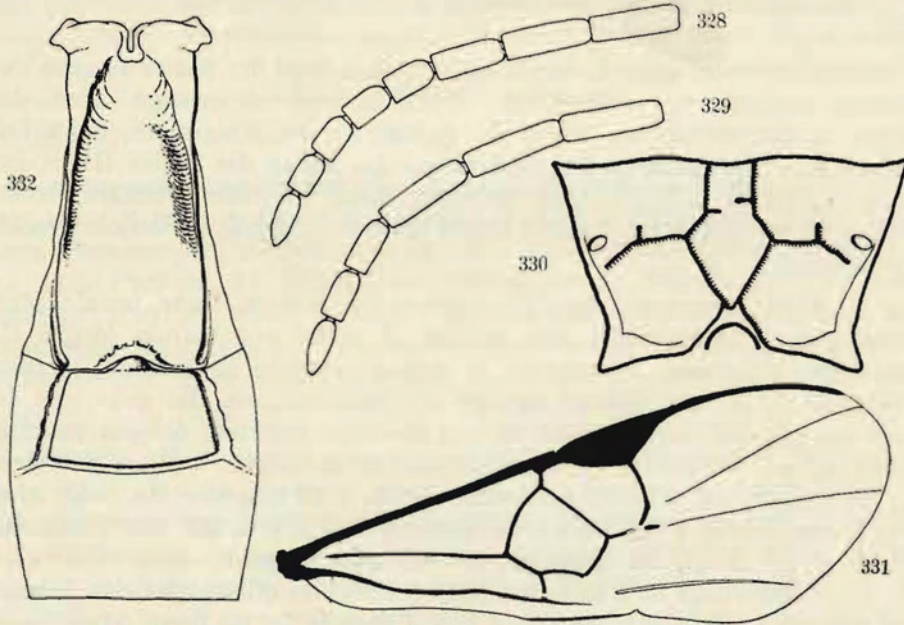


Fig. 328-332. — *Apanteles cato* sp. n.

Fig. 328. — Sommet de l'antenne ♀. Fig. 329. — Sommet de l'antenne ♂.

Fig. 330. — Schéma de l'aréolation du propodeum.

Fig. 331. — Détail de la nervation de l'aile antérieure.

Fig. 332. — Détail des trois premiers tergites abdominaux ♀.

tie apicale de la 1^{re} abcisse de la cubitale près de 2 fois la longueur de la transverso-cubitale et égale aux 2/3 de la récurrente; stigma plus court que le métacarpe.

Pattes III : hanches peu brillantes, finement aciculées et petitement ponctuées. Proportions : hanches, 18/36; fémurs, 12/46; tibias, 9/58; tarses : I, 28; II, 11; III, 9; IV, 7; V, 8; le plus long éperon des tibias la moitié et le plus court le 1/3 de la longueur des métatarses.

Abdomen (fig. 332) : tergite I excavé à la base, fortement proéminent au milieu et faiblement courbé, brillant et striolé à la base, rugueux ailleurs, plus finement vers l'apex, orné de quelques soies dans les 2/3 apicaux et présentant une aire longitudinale médiane, un peu excavée, dans la moitié

apicale, sa longueur médiane 2,33 fois ses largeurs apicale et basale qui sont à peu près égales et 2,15 fois sa plus grande largeur située vers le 1/4 apical (28 : 12 : 12 : 13), ses bords latéraux plus ou moins droits, faiblement divergents jusqu'à la plus grande largeur ensuite faiblement convergents vers l'apex, celui-ci nettement échancré, petite aire médiane apicale faiblement marquée; tergite II plus finement et plus superficiellement rugueux que le I, portant quelques punctuations dans la moitié apicale, localisées surtout sur les côtés, un peu plus étroit à la base que l'apex du I, sa longueur médiane 1,2 fois plus courte que la largeur apicale du I, à peine plus courte que sa propre largeur basale et 1,5 fois sa propre largeur apicale (10 : 12 : 11 : 15), ses sillons latéraux bien marqués, droits et légèrement divergents; 2° suture plus mince que les sillons latéraux du II et arquée vers l'arrière, parfois faiblement; longueur médiane du tergite III à peine plus longue que celle du II (11 : 10), brillant et portant quelques très petits pointillés espacés, excepté dans une aire obtriangulaire médiane à la base et une bande comprenant le 1/4 apical; hypopygium membraneux, aigu et fendu à l'apex, semblable à celui de *Ap. fontinalis* (fig. 326); valves de la tarière de la longueur des fémurs III (fig. 2). Chez le ♂, les proportions des trois premiers tergites sont un peu différentes : tergite I plus court mais de même rapport avec sa largeur (26 : 11); tergite II également plus court (9); tergite III, 1/3 plus long que le II (12 : 9).

DISTRIBUTION GÉOGRAPHIQUE: vers Rweru, volcan Mikeno, forêt de Bambous (alt. 2.400 m., 3 et 26-27.VII.1934), holotype ♀, allotype ♂ et paratypes; Ilega, pied du volcan Karisimbi, Ruanda (alt. 2.400 m., 12.III.1935); Kundhuru ya Tshuve, col Gahinga-Sabinyo, Ruanda, forêt de Bambous (alt. 2.600 m., 18.IV.1934); Tshamugussa, Bweza, forêt de Bambous (alt. 2.250 m., 10.VIII.1934); Ruhengeri, riv. Penge, Ruanda (alt. 1.800-1.825 m., 30-31.VIII.1934); Ruhengeri, sources Kirii, Ruanda (alt. 1.800-1.825 m., 1.X.1934); vers le mont Kamatembe (vers 2.300 m., 7-23.I.1935); Kinyamahura, Djomba (alt. 1.800 m., 23.VIII.1934); lac Gando, pied du volcan Karisimbi, Ruanda (alt. 2.400 m., 8.III.1935); mont Tamira, près du lac Gando, Ruanda (alt. 2.600 m., 11.III.1935); Rutshuru (alt. 1.285 m., 1-6.VI.1935-4.VII.1935); Rutshuru, riv. Musugereza (alt. 1.100 m., 8.VII.1935); Kalondo, lac Ndaraga, Mokoto (alt. 1.750 m., 22-27.III.1834); Nyasheke, volcan Nyamuragira (alt. 1.820 m., 14-26.VI.1935); Nyarusambo (alt. 2.000 m., 30.VI, 2.VII.1934); Burunga, Mokoto (alt. 2.000 m., 17-19.III.1934); Nyakibumba, près de Kikere (alt. 2.226 m., 9.VII.1934); Ngesho (alt. 2.000 m., 3-6.IV.1934); mont Sesero, près de Bitashimwa (alt. 2.000 m., 1-2.VIII.1934); Sake, lac Kivu (alt. 1.410 m., 19-22.II.1934); 179 exemplaires : 126 ♂♂, 53 ♀♀.

121. — *Apanteles subaltus* sp. n.

(Fig. 333.)

♀ : noire, palpes, pattes I et II entièrement (sauf une très légère enfumure apicale des tibias II), extrême apex des hanches, trochanters, trochantelles, un peu plus de la moitié basale des fémurs, moitié basale des tibias et extrême base des métatarses des pattes III; partie membraneuse de l'hypopygium rouge testacé; tarsi III brun noirâtre; éperons des tibias III pâles; tegulae, bords latéraux membraneux des tergites I et II, parties latérales du III d'une façon plus ou moins étendue et parfois entièrement,

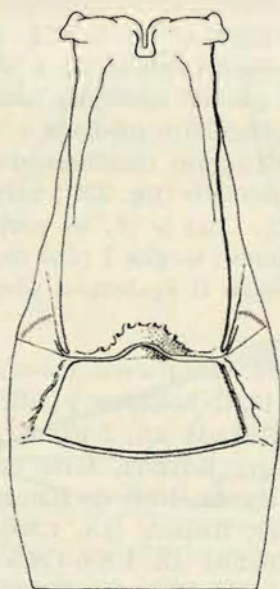


Fig. 333. — *Apanteles subaltus* sp. n.
détail des trois premiers tergites abdominaux.

sternites de la base, rouge testacé à rougeâtres, quelquefois assez sombres; ailes hyalines, non colorées ou très faiblement; stigma brun sombre, opaque; nervures brun pâle, costale légèrement éclaircie à la base.

♂ : semblable à la ♀, à l'exception des caractères suivants : pattes I entièrement, pattes II (sauf une légère enfumure de l'apex des tibias et les tarsi), extrême apex des hanches, trochanters, trochantelles, extrême base des fémurs, environ le tiers basal des tibias et extrême base des métatarses des pattes III, rouge testacé.

♂ ♀ : correspondent à ma description de la sculpture de *Ap. cato* (n° 120) et n'en diffèrent que par de faibles détails :

Carénation du propodeum un peu plus forte; aréole aussi large que longue, ses carènes basales un peu plus divergentes et plus courtes chez

la ♀ : bords latéraux du tergite I parallèles, ce tergite un peu plus large (28 : 14 : 12 : 15); tergite II un peu plus court, plus large (9 : 14 : 13 : 18) et plus distinctement strié (fig. 333); ces tergites assez semblables, à part leurs dimensions, à ceux de *Ap. fontinalis* (fig. 225); abdomen du ♂ plus étroit que celui de la ♀, tergites I et II à proportions plus petites (22 : 10 : 10 : 12), (7 : 10 : 13); le III 1/3 plus long que le II (12 : 9), les sillons latéraux de ce dernier un peu courbés.

Longueur : ♂, 2,8 mm.; ♀, 3 mm.

DISTRIBUTION GÉOGRAPHIQUE : Rutshuru (alt. 1.285 m., 22.V, 4.VI.1934, 18-23.VI.1934, 29-31.V.1935, 6.VI.1935, 2 et 4.VII.1935); Rutshuru, riv. Lubirizi (alt. 1.285 m., 13.VII.1935); Rutshuru, Buhanya (alt. 1.200 m., 6.VII.1935); Rutshuru, riv. Fuku (alt. 1.250 m., 5.VII.1935); Tshamugussa, Bweza, forêt de Bambous (alt. 2.250 m., 9.VIII.1934); mont Sesero, près de Bitashimwa, forêt de Bambous (alt. 2.000 m., 1-2.VIII.1934); Ruhengeri, riv. Penge, Ruanda (alt. 1.800-1.825 m., 30-31.VIII.1934, 4-5.X.1934); Ruhengeri, sources Kirii, Ruanda (alt. 1.800-1.825 m., 31.VIII.1934); Luofu (alt. 1.700 m., 10.XII.1934); Ngesho (alt. 2.000 m., 3-6.IV.1934); forêt près du mont Kamatembe (alt. 2.200 m., 12.IV.1934); Kalondo, lac Ndaraga, Mokoto (alt. 1.750 m., 22-27.III.1934); Rutshuru, riv. Rodahira (alt. 1.200 m., 1.VII.1935); Rutshuru, riv. Musugereza (alt. 1.100 m., 4.VII.1935); Nyongera, près de Rutshuru (alt. 1.218 m., 22.VI.1935); Tshumba, Mushari (alt. 2.100 m., 28.IV, 1.V.1934); Bishakishaki, plaine de lave (alt. 2.100 m., 7-23.I.1935); Ruhengeri, Moruguhu, Ruanda (alt. 1.800-1.825 m., 6.II.1935); Tshengelero, près de Munagana (alt. 1.750 m., 21.VIII.1934); Nzulu, Sake (alt. 1.500 m., 9 et 14.II.1934); 86 exemplaires : 43 ♂♂, 43 ♀♀.

a) *Apanteles subaltus nigrifemur* ab. n.

Cette aberration se distingue de l'espèce par les caractères suivants :

♀ : apex des hanches II, extrême base ou tout au plus le quart basal des fémurs III et la moitié basale des tibias III, rouge testacé; parfois les fémurs sur la face supérieure et l'apex des tibias des pattes III, enfumés.

DISTRIBUTION GÉOGRAPHIQUE : Rutshuru, riv. Lubirizi (alt. 1.285 m., 13.VII.1935), holotype ♀; idem (id., 3.V.1934, 4.VII.1935); Sake, lac Kivu (alt. 1.460 m., 19-22.II.1934); Kalondo, lac Ndaraga, Mokoto (alt. 1.750 m., 22-27.III.1934); 8 exemplaires ♀♀.